

Vysoká škola strojní a textilní, Liberec, Hálkova 6  
Fakulta textilní

---

KANDIDÁTSKÁ DISERTAČNÍ PRÁCE  
X - 91 g

---

z oboru 1032 - stavba výrobních strojů a zařízení (stroje a zařízení textilního průmyslu).

Téma práce: Agregace dopřádání a soukání

Pracoviště: Výzkumný ústav textilního strojírenství,  
Liberec IV., U Jezu 4.

Vypracoval: ing. Vladimír Prášil, Brno, Soběšická 162

U p o z o r n ě n í !

Uvedené náměty na straně 47 až 56 budou předmětem patentní přihlášky, a proto žádám, aby nebyly zveřejňovány dalším osobám.

## Úvod

---

Automatisace křížem soukacích strojů je známa již několik desítek let. Ve dvacátých letech tohoto století se do textilního průmyslu zařazovaly automatické křížem soukací stroje s neúplnou automatizací, které znamenaly zvýšení produktivity práce asi o 200 %, jakož i malé zvýšení produkce strojů. Asi před deseti lety se objevily na trhu stroje nového typu, kde je již řada dalších úkonů proti starým strojům automatizovaná a přinesly zvýšení produktivity asi o 300 % oproti neautomatickým strojům a dále zvýšení produkce na vřeteno proti starým automatickým strojům asi dvojnásobné. V posledních třech letech byly vystavovány stroje úplně automatické, které by přinesly zvýšení produktivity práce o 500-600 % proti strojům neautomatickým a dále ještě nepatrné zvýšení produkce na vřeteno vzhledem ke strojům na předcházející úrovni. Tyto stroje se však dosud neprosadily do průmyslového využití, zřejmě pro svoji vysokou cenu, dosud malou spolehlivost funkcí, složitost mechanismů a složitou údržbu. Dá se však předpokládat, že i tyto stroje se mohou ve výrobním procesu některých států, kde jest jako prvoradé hledisko ekonomiky brána produktivity práce (drahá pracovní síla), být úspěšně zařazeny.

Otázka perspektiv výzkumu a vývoje automatických soukacích strojů křížových se stává však pro takto již nyní vysokou automatizaci dosti složitá a drahá, takže se hledají jiné cesty k dosažení stejného cíle - k dosažení finálního výrobku potřebné kvality - křížové cívky. Mohou to být tyto způsoby:

- A) Předení příze neortodoxním způsobem (bezvřetenové doprádací stroje),
- B) nové pohledy na automatizaci klasických doprádacích strojů,
- A) Možnosti předení příze na bezvřetenových doprádacích strojích s možností dosažení křížové cívky navazujícím vývojem snad jakéhokoliv požadovaného tvaru na těchto



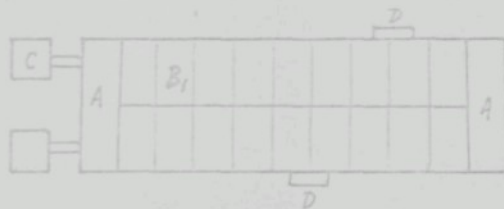






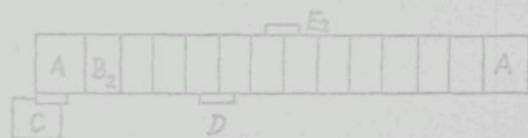
Dosud vyráběné automatické křížem soukací stroje lze zhruba rozdělit do tří skupin.

3. S automatizací každé soukaci jednotky (obr. 3).



Obr. 3 - A-náhonová skříň,  $B_1$ -soukací jednotky s automatikou, C-bedna pro prázdné dutinky, d-bedna s potáči.

4. S pevnými soukacími jednotkami a pohyblivou navazovací hlavou (obr. 4).



Obr. 4 -  $B_2$ -pevná soukací jednotka,  $E_2$ -pohyblivá navazovací hlava.



Srovnání bude provedeno mezi automaty prvého a druhého typu a v případě, že to bude možné a užitečné, i se soukacími stroji neautomatickými.

Označení:

- $t_c$  - celkový čas sukařky potřebný na nasoukání jedné křížové cívky bez časů na pozorování stroje, vedlejších časů, časů na občerstvení a pod.
- $t_p$  - čas na uchopení potáče, vyhledání podvinky, nasazení potáče do zásobníku, zaklesnutí konce příze a pomocné úkony s tímto související (3,2 sec.).
- $t_n$  - celkový čas potřebný na manipulaci s potáčem na neautomatickém soukacím stroji (11 sec.).
- $t_{nl}$  - čas potřebný na neaut. soukacím stroji k uložení potáče a vyhledání podvinky (3,5 sec.).
- $t_{n2}$  -  $t_{n2} = t_n - t_{nl} = 7,5$  sec.
- $t_l$  - čas na vyspravení přetrhu ručně 7,5 sec.
- $t_b$  - totéž jako  $t_p$  ale při vrácení potáče již jednou od-soukávaného (po přetrhu a vypadnutí na transportér - nové hledání podvinky, 2,5 sec.)
- $t_x$  - čas potřebný na sejmoutí plné křížové cívky, její uložení, nasazení prázdné dutinky a spuštění jednotky (6 sec s automatickými, 10 sec. neautomatické soukací stroje).
- $t_k$  - doba soukání jedné cívky (slunečnicová 30 min., kuželová 60 min.)
- $t_s$  - doba navazování jednoho potáče (automaty starších typů 3 sec.)
- $t_z$  - čas potřebný na obsluhu jednoho vřetene při vysoukání jednoho potáče

t	- čas odšoukávání jednoho potáče	
Sv	- počet potáčů na cívce - slunečnicová velké potáče	(6)
Sm	- - - - - malé potáče	(12)
Kv	- poč. potáčů na cívce kužel. 150zdvih velké potáče	(10)
Km	- - - - - malé potáče	(20)
$\hat{\tau}_{sv}$	- čas v % potřebný na obsluhu sluneč. cívky (velké potáče) vzhledem k celk. času $t_c$	
$\hat{\tau}_{sm}$	- čas v % potřebný na obsluhu slunečnicové cívky (malé potáče) vzhledem k celkovému času $t_c$	
$\hat{\tau}_{kv}$	- čas v % potřebný na obsluhu kuželové cívky 150 (velké potáče) vzhledem k celkovému času $t_c$	
$\hat{\tau}_{km}$	- čas v procentech potřebný na obsluhu kuželové cívky (malé <sup>potáče</sup> ) vzhledem k celkovému času $t_c$	
T	- trhavost (přetrhů/1000 m příze)	
P	- počet přestrhů na potáči	
L	- délka odvinuté příze z potáčů	
X	- počet soukacích jednotek obsluhovaných jednou sukačkou	
$n_{\sigma}$	- počet nově nasazených potáčů do karuselu (vyhozených) u velkých potáčů	
$n_m$	- počet nově nasazených potáčů do karuselu (vyhozených) u malých potáčů	

A) 1. Vliv velikosti potáče na užitečný výkon stroje

a) Soukací automaty starého typu

Úvaha se týká potáčů o délce  $L_1 = 2500$  m a  $L_2 = 5000$  m příze, soukací rychlosti  $V = 1000$  m/min., doba navazování  $t_s$  (nasazování nového potáče)  $1/20$  min. = 3 sec, trhavost  $T = 0,1$  přetruhů na 1000 m příze.

Počet přetruhů na 1 potáči s 2500 m příze  $P_{2500}$

Počet přetruhů na 1 potáči s 5000 m příze  $P_{5000}$

$$P_{2500} = \frac{T \cdot L_1}{1000} = \frac{0,1 \cdot 2500}{1000} = 0,25 \text{ přetruhů/potáč}$$

$$P_{5000} = \frac{T \cdot L_2}{1000} = \frac{0,1 \cdot 5000}{1000} = 0,5 \text{ přetruhů/potáč}$$

Z předešlého jest patrné, že budou při soukání z potáčů 2500 m, přetrh na každém čtvrtém potáči a na potáčích 5000 m, na každém druhém potáči.

Podle zkoušek prováděných s určitým množstvím potáčů obou typů bylo však shledáno, že se příze na potáčích trhá v průměru ne v polovině odvinutého potáče, jak by bylo možné teoreticky předpokládat, ale cca při odvinutí potáče ze 70 % jeho obsahu (viz obr.č. 6)



Zkoušky (seřazeny vzestupně dle % odvinuté příze na potáči při přetruhu).

Délka odvinuté příze za dobu 4 cyklů (4 potáčů) u potáčů 2500 a 2 cyklů (2 potáčů) u potáčů 5000 bude:

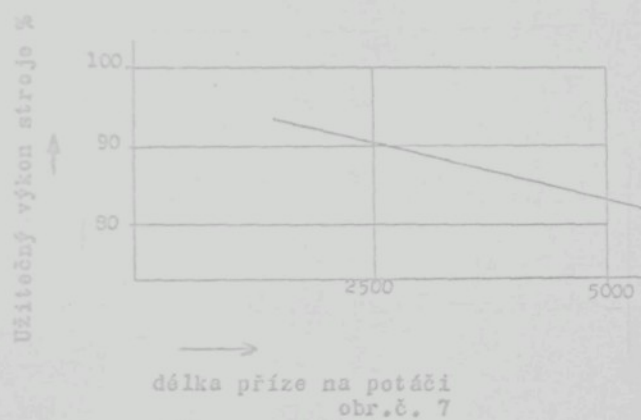
$$L_{2500} = 3 \cdot 2500 + \frac{70}{100} 2500 = 9250 \text{ m za dobu} \\ (4 \cdot 2,5 + 4 \frac{1}{20}) \text{ min.} = 10 \frac{1}{5} \text{ min.}$$

$$L_{5000} = 1 \cdot 5000 + \frac{70}{100} 5000 = 8500 \text{ m za dobu} \\ (2 \cdot 5 + 2 \frac{1}{20}) \text{ min.} = 10 \frac{1}{10} \text{ min.}$$

100 % užitečný výkon = 10 000 m za dobu 10 min.

Užit. výkon potáčů 2500 ... 9250 m za  $10 \frac{1}{5}$  min. = 90,5 %  
užit. výkon potáčů 5000 ... 8500 m za  $10 \frac{1}{10}$  min. = 84 %

Průběh užitečného výkonu stroje (při pohledu pouze na pře-  
došlé úvahy) je znázorněn na následujícím obrázku č. 7.



Produkce stroje se ještě zhorší když se vyhozené potáče vracejí zpět k automatickému křížem soukacímu stroji ke zpracování.

Produkce stroje se ještě zhorší když se vyhozené přetřené potáče vracejí zpět k automatickému křížem soukacímu stroji ke zpracování. V předcházejících úvahách je zjednodušení v tom jak by se zbytky odsoukávaly na zvláštním neautomatickém soukacím stroji. Při uvažování, že se budou přesoukávat vyhozené potáče na automatu, vydeje užitečný výkon ještě více v neprospech velkých potáčů, neboť lze říci, že při odsoukání 3 potáčů bude odsoukán 1 potáč s délkou příze 5000 celý a 2 neúplné (1x do 70 % a 1x 30 %), v celkové době pro 3 potáče a na každých 5 potáčů s délkou příze 2500 budou odsoukány 2 potáče neúplné (1x do 70 % a 1x 30 %) a 3 úplné v celkové době 5ti potáčů:

$$L_{2500} = 3 \cdot 2500 + 1 \cdot \frac{70}{100} \cdot 2500 + 1 \frac{30}{100} \cdot 2500 = 10\ 000 \text{ m}$$

za dobu  $(5, 2,5 + 5 \frac{1}{20}) \text{ min.} = 12 \frac{15}{20} \text{ min.}$

$$L_{5000} = 1 \cdot 5000 + \frac{70}{100} \cdot 5000 + \frac{30}{100} \cdot 5000 = 10\ 000 \text{ m za}$$

dobu  $(3 \cdot 5 + 3 \frac{3}{20}) \text{ min.} = 15 \frac{3}{20} \text{ min.}$

100 % užitečný výkon jest 10 000 m za 10 min.

Užitečný výkon u potáčů  $L_1 = 2500 \dots$

$10\ 000 \text{ m za } 12 \frac{15}{20} \dots 78,5 \%$

Užitečný výkon u potáčů  $L_2 = 5000 \dots$

$10\ 000 \text{ m za } 15 \frac{3}{20} \dots 66 \%$

Průběh užitečného výkonu s ohledem na předešlé úvahy je vyjádřen na následujícím obr.č. 8.





### A) 2. Vliv velikosti potáče na produktivitu práce

Uvažované parametry jako v předcházející statii A) 1.  
kromě toho, že na křížové cívce jest přibližně:

malých potáčů 20 (km = 20)

velkých potáčů 10 (kv = 10)

$t_p$  čas obsluhy pro 1 potáč -  $t_p$  (velký i malý) cca 3,2 sec.  
(uchopení potáče ze zásobníku, vyhledání podvinky, usazení  
do zásobníku, zaklesnutí konce).

$t_b$  dtto jako  $t_p$  pro potáče, který se znova vraci do zásob-  
níku (2,5 sec.).

$t_x$  čas obsluhy pro 1 kříž. cívku cca 6 sec (sejmoutí křížo-  
vé cívky plné, uložení, nasazení prázdné, spuštění  
soukací jednotky).

$x_{2500}$  počet soukacích jednotek obsluhovaných 1 sukařkou  
při malých potáčích

$x_{5000}$  počet soukacích jednotek obsluhovaných 1 sukařkou  
při velkých potáčích.

$t_a$  čas potřebný na obsluhu 1 vřeteně při vysoukání jedno-  
ho celého potáče.

km počet potáčů na cívce kuželové (150) malých (20)

kv počet potáčů na cívce kuželové (150) velkých (10)

#### a) Soukaci automaty starého typu

$$t_{a2500} = t_p + \frac{1}{4} t_b + t_x \frac{1}{km}$$

$$t_{a5000} = t_p = \frac{1}{2} t_b + t_x \frac{1}{kv}$$

$$t_{a2500} = 3,2 + \frac{1}{4} \cdot 2,5 + 6 \frac{1}{20} = 4,1 \text{ sec}$$

$$t_{a5000} = 3,2 + \frac{1}{2} \cdot 2,5 + 6 \frac{1}{10} = 5,0 \text{ sec.}$$

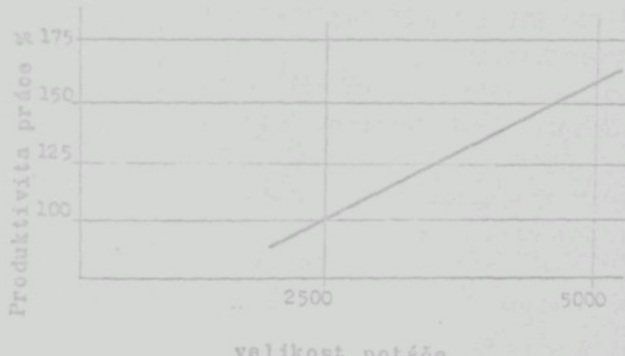
Nebudeme-li pro otázku produktivity uvažovat produkci  
vřeten - zkoumáme pouze vliv velikosti potáče na pro-

duktivitu práce sukařky (lze stanovit teoretický počet obsluhovaných míst sukařkou).  $t$  = čas odsoukávání 1 potáče.

$$x_{2500} = \frac{t \cdot 2500}{ta_{2500}} = \frac{2,5 \cdot 60}{4,1} = 37 \text{ souk.jednotek/pracovníci}$$

$$x_{5000} = \frac{t \cdot 5000}{ta_{5000}} = \frac{5 \cdot 60}{5} = 60 \text{ souk.jednotek/pracovníci}$$

Vezmeme-li počet obsluhovaných soukacích míst při malých potáčích jako 100%, bude zvýšení produktivity práce v důsledku použití velkých potáčů dle následujícího obr.č. 10.



obr.č. 10

b) Soukací automaty nového typu

Dle zkušeností se strojem Autosuk víme, že se znova nasažuje cca 10 % z potáčů celkem obsluhovaných velkých ( $n_V = \frac{1}{10}$ ) a cca 5 % malých ( $n_P = \frac{1}{20}$ ) při přetrhovosti 0,1 přetrhů na 1000 m příze.

$$t_{a2500} = t_p + n_m \cdot t_b + t_x \cdot \frac{1}{k_m}$$

$$t_{a2500} = 3,2 + \frac{1}{20} \cdot 2,5 + 6 \cdot \frac{1}{20} = 3,6 \text{ sec/potáč}$$

$$t_{a5000} = t_p + n_v \cdot t_b + t_x \cdot \frac{1}{k_v}$$

$$t_{a5000} = 3,2 + \frac{1}{10} \cdot 2,5 + 6 \cdot \frac{1}{10} = 4,0 \text{ sec/potáč}$$

$$x_{2500} = \frac{t_{a2500} \cdot 60}{t_{a2500}} = \frac{2,5 \cdot 60}{3,6} = 42 \text{ souk. jednotek/sukařku}$$

$$x_{5000} = \frac{t_{a5000} \cdot 60}{t_{a5000}} = \frac{5 \cdot 60}{4,0} = 75 \text{ souk. jednotek/sukařku}$$

Zvýšení produktivity práce u nových soukacích automatů z hlediska velikosti potáčů bude, vezmemeli malé potáče za 100%, dle následujícího obr. č. 11



c) Produktivita na neautomatických soukacích strojích  
v závislosti na velikosti potáčů

Pro srovnání uvádím ještě růst produktivity práce na neautomatických soukacích strojích.

$t_{n_1}$  = čas na vyhledání podvinku a usazení potáče na trn 3,5  
 $t_{n_2}$  = čas na vyhledání příze na kříž. cívce, zavedení příze

do brzdičky, čističe, svázání uzlu, shození prázdné  
dutinky, 7,5

$t_x$  = čas na výměnu křížové cívky 10 sec.

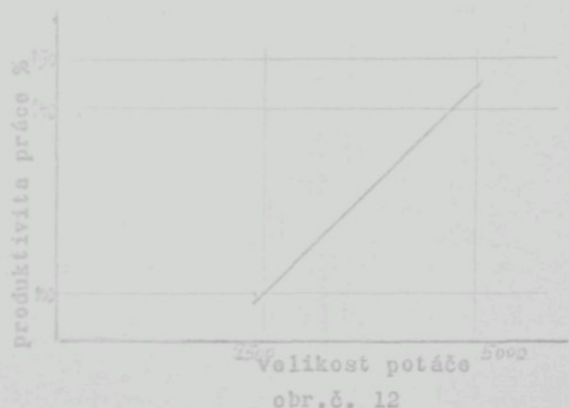
$t_1$  = čas na vyspravení přetahu ručně 7,5 sec.

$$ta = t_{n_1} + t_{n_2} + \frac{1}{E} t_x + p * t_1$$

$$ta_{2500} = 3,5 + 7,5 + \frac{1}{20} * 10 + \frac{1}{2} * 7,5 = 11,4 \text{ sec/potáč} \\ (2500)$$

$$ta_{5000} = 3,5 + 7,5 + \frac{1}{10} * 10 + \frac{1}{2} * 7,5 = 15,8 \text{ sec/potáč} \\ (5000)$$

Bude třeba na délku příze 5000 m u malých potáčů  
 $[11,4 * 2] \text{ sec.práce sukařky} = 22,8 \text{ sec.}, \text{na velké } 15,8 \text{ sec.}$   
V tomto poměru se také zvýší produktivita práce sukařky, jak  
ukazuje následující obr.č. 12.



Při posuzování produktivity práce z hlediska velikosti soukázkých potáčů možno říci, že na starých typech strojů roste produktivita při snování potáčů 2500 a 5000 o 55 %, a u nových typů strojů při těchž potáčích o 78 %.

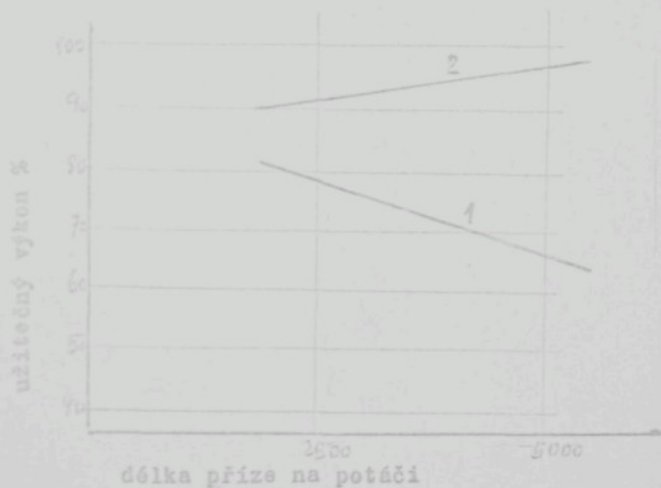
U strojů neautomatických roste přibližně o 45 %.

Nutno ovšem zdůraznit, že růst produktivity práce sukařky v zásadním hledisku mezi automaty a neautomaty jest teoreticky dán poměrem času potřebného na obsluhu jednoho potáče u automatu a neautomatu při stejném druhu potáče, což jest vidět z předchozí jí státi.

Na příklad automat-potáče 2500	4,1 sec
neautomat	-- 11,4 sec.
automat-potáče 5000	5,0 sec.
neautomat	-- 15,8 sec.

Z uvedeného přehledu jest vidět, že růst produktivity jest přibližně 3-násobný.

Souhrnně lze vidět vliv délky příze na potáči na užitečný výkon stroje a na produktivitu práce z následujících obr.č. 13 a 14.



obr.č. 13



B) 1. Vliv trhavosti příze na produkci automatických stukacích strojů.

Předpoklad:

Základní trhavost  $T_1 = 0,1$  přetrahů/1000 m příze  
zvýšená trhavost  $T_2 = 0,2$  přetrahů na 1000 m příze.

Ostatní označení viz stav I - A1.

a) Seukací automat starého typu

$$\begin{aligned} T_1 \dots L_{2500} &= 3 \cdot 2500 + \frac{70}{100} 2500 + \frac{30}{100} 2500 = \\ &= 10\ 000 \text{ m příze za dobu } 5 \cdot 2,5 + 5 \cdot \frac{1}{20} = \\ &= 12 \frac{15}{20} \text{ min.} \end{aligned}$$

$$\begin{aligned} T_2 \dots L_{2500} &= 2 \cdot 2500 + 2 \frac{70}{100} 2500 + 2 \frac{30}{100} \cdot 2500 = \\ &= 10\ 000 \text{ m příze za dobu } 6 \cdot 2,5 + \frac{6}{20} = 15,3 \text{ min.} \end{aligned}$$

$$\begin{aligned} T_1 \dots L_{5000} &= 1.5000 + \frac{70}{100} \cdot 5000 + \frac{30}{100} \cdot 5000 = 10\ 000 \text{ m} \\ \text{za dobu } &15 + \frac{3}{20} = 15 \frac{3}{20} \end{aligned}$$

$$\begin{aligned} T_2 \dots L_{5000} &= 2 \cdot \frac{70}{100} \cdot 5000 + 2 \frac{30}{100} \cdot 5000 = 10\ 000 \text{ m} \\ \text{za dobu } &20 + \frac{4}{20} = 20,2 \end{aligned}$$

$$100 \% = 10\ 000 \text{ m za 10 min.}$$

$$\gamma_{T_1} = 2500 \dots 10\ 000 \text{ m za } 12 \frac{15}{20} = 78,5 \%$$

$$\gamma_{T_2} = 2500 \dots 10\ 000 \text{ m za } 15,3 = 65 \%$$

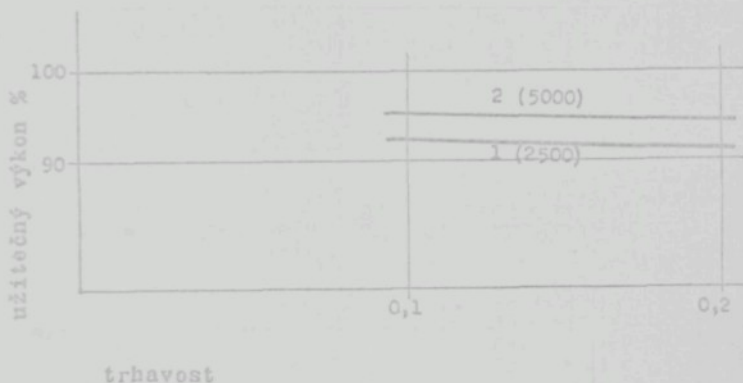
$$\gamma_{T_1} = 5000 \dots 10\ 000 \text{ m za } 15 \frac{3}{20} = 66 \%$$

$$\gamma_{T_2} = 5000 \dots 10\ 000 \text{ m za } 20,2 = 49,5 \%$$



$\hat{\gamma}_T$ ... L = 2500 ... bude užitečný výkon	92,5 %
$\hat{\gamma}_{T_2}^1$ ... L = 2500 ... bude užitečný výkon	91 %
$\hat{\gamma}_{T_1}$ ... L = 5000 ... bude užitečný výkon	95 %
$\hat{\gamma}_{T_2}$ ... L = 5000 ... bude užitečný výkon	94 %

Na následujícím obr.č. 16 jest uveden užitečný výkon stroje ovlivněný zvýšenou trhavostí příze z 0,1 na 0,2 přetrahů na 1 000 m příze u soukacích automatů nového typu, při čemž přímka 1 udává užitečný výkon při potáčích o délce 2500 m a přímka 2 o délce 5000 m.



obr.č. 16

Lze konstatovat, že pro stroje starého typu se užitečný výkon pohybuje značně níže a má značně sestupnější charakteristiku než u strojů nového typu. Dále lze konstatovat, že u strojů starších typů jest z hlediska užitečného výkonu v závislosti na trhavosti použití potáčů menších délek výhodnější a naopak pro stroje nových typů je výhodnější použití potáčů větších délek.



B) 2. Vliv trhavosti příze na produktivitu práce sukařky

Označení viz stáť A) 2a.

a) Soukni automaty starého typu:

$$T_1 \dots t_{a2500} = 3,2 + \frac{1}{4} \cdot 2,5 + 6 \frac{1}{20} = 4,10 \text{ sec/potáč}$$

$$T_2 \dots t_{a2500} = 3,2 + \frac{2}{4} \cdot 2,5 + 6 \frac{1}{20} = 4,75 \text{ sec/potáč}$$

$$T_1 \dots t_{a5000} = 3,2 + \frac{1}{2} \cdot 2,5 + 6 \frac{1}{10} = 5,00 \text{ sec/potáč}$$

$$T_2 \dots t_{a5000} = 3,2 + 1 \cdot 2,5 + 6 \frac{1}{10} = 6,30 \text{ sec/potáč}$$

$$T_1 \dots x_{2500} = \frac{t_a \cdot 60}{ta} = \frac{2,5 \cdot 60}{4,1} = 37 \text{ souk.jednotek/prac.}$$

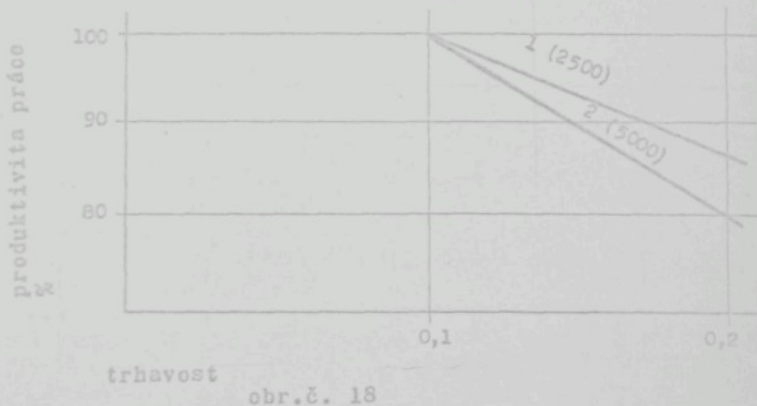
$$T_2 \dots x_{2500} = \frac{t_a \cdot 60}{ta} = \frac{2,5 \cdot 60}{4,75} = 32 \text{ souk.jednotek/prac.}$$

$$T_1 \dots x_{5000} = \frac{t_a \cdot 60}{ta} = \frac{5 \cdot 60}{5} = 60 \text{ souk.jednotek/prac.}$$

$$T_2 \dots x_{5000} = \frac{t_a \cdot 60}{ta} = \frac{5 \cdot 60}{6,30} = 48 \text{ souk.jedn. /prac.}$$

U starých typů strojů bude probíhat produktivita práce sukařky v závislosti na zvýšené trhavosti z 0,1 přetahu na 10 000 m na 0,2 následujícím způsobem (obr.č. 18), produktivita pro  $T_1 = 100\%$       1 pro malé potáče

2 pro velké potáče



obr.č. 18

b) Soukací automaty nového typu

označení viz stáť A2-b

$$T_1 \dots t_{a2500} = 3,2 + \frac{1}{20} \cdot 2,5 + 6 \frac{1}{20} = 3,6 \text{ sec/potáč}$$

$$T_2 \dots t_{a2500} = 3,2 + \frac{2}{20} \cdot 2,5 + 6 \frac{1}{20} = 3,75 \text{ sec/potáč}$$

$$T_1 \dots t_{a5000} = 3,2 + \frac{1}{10} \cdot 2,5 + 6 \frac{1}{10} = 4,0 \text{ sec/potáč}$$

$$T_2 \dots t_{a5000} = 3,2 + \frac{2}{10} \cdot 2,5 + 6 \frac{1}{10} = 4,3 \text{ sec/potáč}$$

$$T_1 \dots x_{2500} = \frac{2,5 \cdot 60}{3,6} = 42 \text{ soukacích jednotek/pracovnice}$$

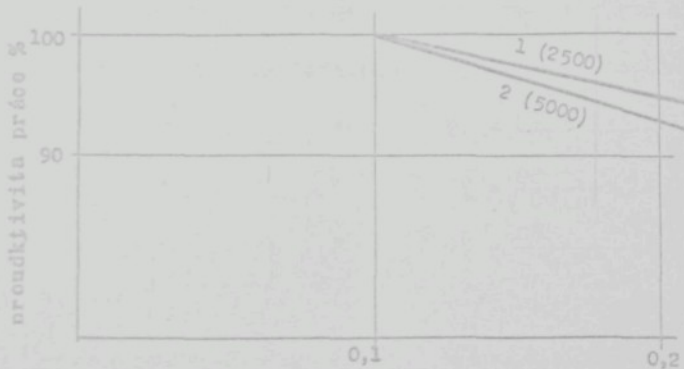
$$T_2 \dots x_{2500} = \frac{2,5 \cdot 60}{3,75} = 40 \text{ soukacích jednotek/pracovnice}$$

$$T_1 \dots x_{5000} = \frac{5 \cdot 60}{4,00} = 75 \text{ soukacích jednotek/pracovnice}$$

$$T_2 \dots x_{5000} = \frac{5 \cdot 60}{4,3} = 70 \text{ soukacích jednotek/pracovnice}$$

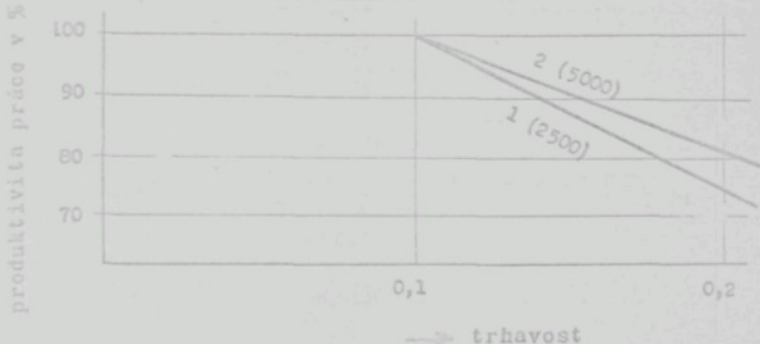
U nových typů soukacích automatů bude probíhat produktivita práce v závislosti na zvýšené trhavosti z 0,1 přetřhů na 1000 m příze na 0,2 (při produktivitě pro  $T_1 = 100\%$ ) dle následujícího obr. č. 19.

1 - malé potáče  
2 - velké potáče



obr.č. 19





obr.č. 20

Z předcházejících úvah o průběhu produktivity práce v závislosti na trhavosti příze lze vidět, že produktivita klesá při zvýšené trhavosti nejvíce u neautomatických soukacích strojů a nejméně u automatických strojů nového typu. Dále lze konstatovat, že klesá z toho důvodu (trhavost) více u neautomatických soukacích strojů při malých potáčích a u automatických strojů při velkých potáčích. Souhrnně vliv trhavosti na produktivitu práce sukařky ukazuje obr.č. 21.



C. 4. Vliv velikosti soukané křížové cívky na produkci stroje

a) Soukací automaty starého typu

Předpokládejme zvětšení cívky oca 2x při zachování stejněho maximálního průměru, tedy přechodem ze slunečnicových cívek (zdvih 80) na kuželové (zdvih 150 mm). Dále předpokládejme, že se čas na výměnu plné cívky za prázdnou nezměnil, tedy 6 sec.

Automatická hlava pracuje tak, že při dosažení žádaného průměru cívky nevymění plný potáč za prázdný a nenaváže uzel, tedy po odjetí navazovací hlavy se na cívku nesouká. Sukačka vymění plnou křížovou cívku za prázdnou, ale dokud nedojede znova navazovací hlava, nezačne se soukat.

Na plnou cívku zdvihu 80 mm (slunečnicovou) se vejde asi 6 potáčů délky 5000 m Čm 28, váha cca 180 g a 12 potáčů délky 2500 m.

Na plnou cívku zdvihu 150 mm se vejde do 10 potáčů délky 5000 m a 20 potáčů délky 2500.

Pojmy:

Z % - ztráta v procentech produkce

a - počet potáčů na cívce

b - celkový počet cyklů

a) cívka slunečnicová - velký potáč

$$Z \% = 100 - \frac{a}{b} \cdot 100 = 100 - \frac{6}{7} \cdot 100 = 15,5 \%$$

b) cívka slunečnicová - malý potáč

$$Z \% = 100 - \frac{a}{b} \cdot 100 = 100 - \frac{12}{13} \cdot 100 = 9 \%$$

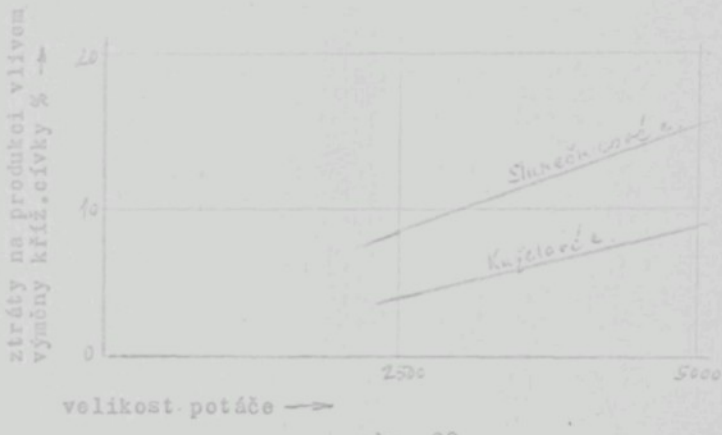
c) cívka kuželová 150 mm zdvih - velký potáč

$$Z \% = 100 - \frac{a}{b} \cdot 100 = 100 - \frac{10}{11} \cdot 100 = 9 \%$$

d) cívka kuželová 150 mm zdvih - malý potáč

$$Z \% = 100 - \frac{a}{b} \cdot 100 = 100 - \frac{20}{21} \frac{100}{100} = 4,5 \%$$

Jak je zřejmě z obr. 22, jsou menší ztráty na produkci stroje vzniklé v důsledku výměny křížové cívky při použití větší křížové cívky a menšího potáče.



obr. 22

b) Soukci automaty nového typu

Vyčíslení vlivu velikosti soukané křížové cívky na produkci stroje je dosti obtížné, neboť není závislá jen na výpočtu, ale hlavně na práci sukařky, jak brzy se dostaví k soukanému místu a provede výměnu.

V nejlepším případě (bez ztrátových časů) bude vliv následující:

$$t_1 = \text{doba soukání jedné kříž.cívky} \quad \begin{array}{ll} \text{- slunečnicové} & 30 \text{ min.} \\ \text{- kuželové} & 60 \text{ min.} \end{array}$$

$$t_2 = \text{doba výměny} \dots 0,1 \text{ min.}$$







b) Soukací automaty nového typu

Předpoklady stejné jako ve stati C2-a.

Dále se předpokládá, že se vrací 10 % velkých potáčů  
a 5 % malých.

Slunečnicová cívka, potáč 2500:

$$t_c = S_m \cdot t_p + \frac{S_m}{20} \cdot t_b + t_x = 45,9 \text{ sec.}$$

Slunečnicová cívka, potáč 5000:

$$t_c = S_v \cdot t_p + \frac{S_v}{10} \cdot t_b + t_x = 26,7 \text{ sec.}$$

Kuželová cívka, potáč 2500:

$$t_c = K_m \cdot t_p + \frac{K_m}{20} \cdot t_b + t_x = 72,5 \text{ sec.}$$

Kuželová cívka 150, potáč 5000:

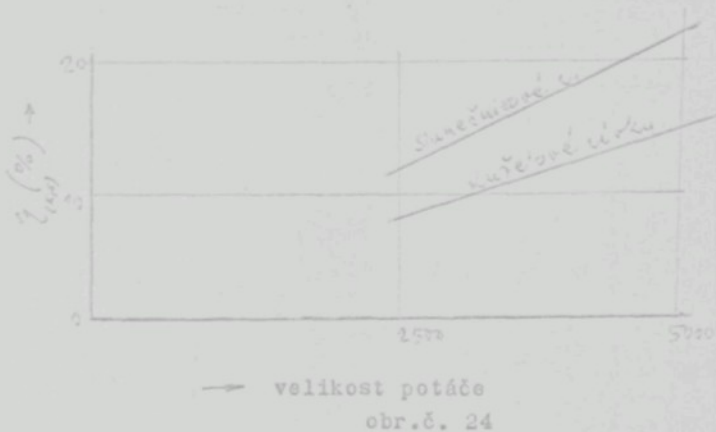
$$t_c = K_v \cdot t_p + \frac{K_v}{10} \cdot t_b + t_x = 40,5 \text{ sec.}$$

$$\frac{S_m}{t_c} = \frac{t_x \cdot 100}{t_c} = 13 \%$$

$$\frac{S_v}{t_c} = \frac{t_x \cdot 100}{t_c} = 22,5 \%$$

$$\frac{K_m}{t_c} = \frac{t_x \cdot 100}{t_c} = 8 \%$$

$$\frac{K_v}{t_c} = \frac{t_x \cdot 100}{t_c} = 15 \%$$



→ velikost potáče  
obr. č. 24

c) Neautomatické soukací stroje

Slunečnicová cívka - malý potáč

$$t_c = S_m \cdot t_n + \frac{S_m}{4} \cdot t_{n2} + t_x =$$

$$t_c = 12 \cdot 11 + \frac{12}{4} \cdot 7,5 + 10 = 164,5 \text{ sec.}$$

Slunečnicová cívka, velký potáč

$$t_c = S_v \cdot t_n + \frac{S_v}{2} \cdot t_{n2} + t_x =$$

$$t_c = 6 \cdot 11 + \frac{6}{2} \cdot 7,5 + 10 = 98,5 \text{ sec.}$$

Kuželová cívka 150, malý potáč

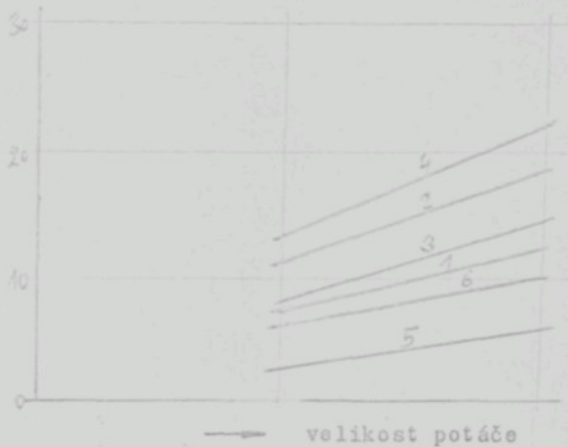
$$t_c = K_m \cdot t_n + \frac{K_m}{4} \cdot t_{n2} + t_x =$$

$$t_c = 20 \cdot 11 + \frac{20}{4} \cdot 7,5 + 10 = 267,5 \text{ sec.}$$



Souhrnně lze vidět vliv velikosti křížové cívky na produktivitu práce z obr.č. 26.

Potřeba času na obsluhu jedné kříž. cívky v % v závislosti na celkové potřebě času sušárky na nasoukání jedné kříž. cívky.



obr.č. 26

- 1 kuželová cívka zdvih 150 automaty starého typu
- 2 slunečnic. cívka zdvih 80 automaty starého typu
- 3 kuželová cívka zdvih 150 automaty nového typu
- 4 sluneč. cívka zdvih 80 automaty nového typu
- 5 kuželová cívka zdvih 150 neautomatické stroje
- 6 slunečnicová cívka " 80 neautomatické stroje

Z předešlých propočtů v oblasti vlivu velikosti křížové cívky na produktivitu práce sukařky lze pozorovat, že zatím co na neautomatických strojích se pohybuje procento vynaloženého času na obsluhu křížové cívky v rozmezí 3,7 - 10 %, u automatů starého typu od 7,5 do 18,4 %, tak se toto procento u automatů nového typu pohybuje od 8 - 22,5 %. Z toho vyplývá, že je nutné přecházet na cívky velkého formátu nebo se zabývat automatisací prací spojených s výměnou křížové cívky.

D) 1. Vliv nestejnoměrnosti délky potáče na produkci stroje

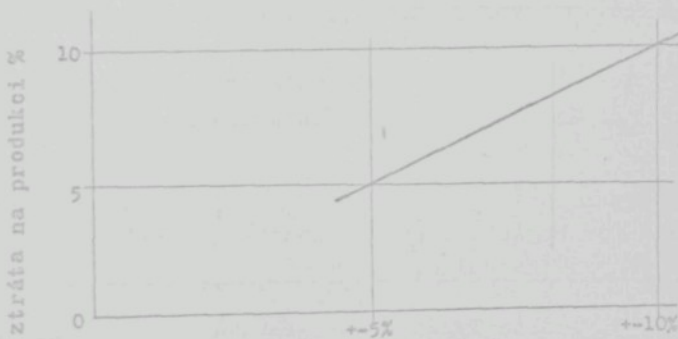
a) soukací automaty starého typu

Při uvažování potáčů o nestejnoměrné délce příze v rozmezí  $\pm 5\%$  jenutně (u uvedených typů strojů) nastavit pohyb navazovací hlavy tak, aby nezačala obsluhovat soukací jednotku dříve než se vysouká všechna příze, tedy na maximum délky na potáči.

Na příklad při soukání rychlostí 1000 m/min. a délce příze na potáči  $5000 \pm 5\% = 4750 - 5250$  m je třeba, aby se hlava pohybovala tak, aby přišla na stejně místo nejdříve za

$$\frac{5250}{1000} = 5,25 \text{ min.}$$

Kdyby byla však dodržena délka na potáči přesně, bude moct hlava objízdět rychlostí 5,0 min. Ztráta bude tím větší čím bude větší nestejnoměrnost délky příze na potáči (obr. 27).



nestejnoměrnost délky příze na potáči %

obr.č. 27

- b) U soukacích automatů nového typu se tato okolnost neprojevuje. Rovněž se neprojevuje u strojů neautomatických. Vliv nerovnoměrnosti délky příze na potáči na produktivitu práce sukařky je nulový.

### E. Teoretický užitečný výkon automatických soukacích strojů

Teoretický užitečný výkon lze stanovit pro všechny typy uvedených automatů ze vzorce:

$$\begin{aligned} \gamma &= \left\{ T - \left[ t \cdot (1+p) + \frac{1+p}{2a} \cdot T + \frac{Z_c}{m} \right] \right\} \cdot 100 \quad \text{nebo} \\ \gamma &= 100 - \frac{t \cdot (1+p) + \frac{1+p}{2a} \cdot T \cdot 100}{T} - \frac{Z_c \cdot 100}{m \cdot T} \quad \text{nebo} \\ \gamma &= 100 - \frac{100 \cdot (1+p) \cdot t}{T} - \frac{100 \cdot (1+p)}{2a} - \frac{Z_c \cdot 100}{m \cdot T} \end{aligned}$$

- kde  $t$  - doba na provedení výměny potáče nebo vyspravení přetahu (neproduktivní čas nesouká se z potáče - sec.),  
 $p$  - průměrný počet přetruhů na potáč  
 $T$  - celkový čas potřebný na odsoukání 1 potáče  
 $T = \frac{L}{V}$ , kde  $L$  je délka příze na potáči v m  
 $V$  = soukací rychlosť v metrech za sec.  
 $T$  je potom v sec.  
 $Z_c$  - celkový ztrátový čas na výměnu křížové cívky v sec., který se skládá z časů:  $z_1$  - čekání soukací jednotky na sukačku,  $z_2$  - výměna křížové cívky a  $z_3$  - spuštění soukací jednotky.  
 $m$  - počet potáčů na křížové cívce  
 $a$  - počet kontrol potáče navazovacím nebo ohledávacím zařízením během doby odsoukání 1 potáče  
 $a_3$  -  $\infty$   
 $a_4 = \frac{T + t \cdot (1+p) - t \cdot (1+p) \cdot n}{tp}$   
 $tp$  - čas na přejetí hlavy kolem jednotek v případě, že na žádné jednotce neprobíhalo vázání  
 $n$  - počet soukacích jednotek

$$a_{5a} = \frac{\tilde{T} + /l+p/ \cdot t}{t_0}$$

$t_0$  = doba na objetí soukacích jednotek kolem navazovací hlavy (sec.) za předpokladu, že se objíždění soukacích jednotek při navazování děje stejně rychle jako objíždění soukacích jednotek kolem navazovací hlavy v případě, když navazovací hlava nepůsobí (souká se).

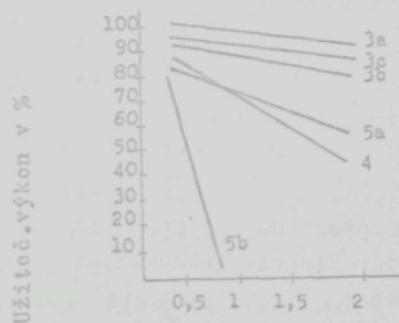
$$a_{5b} = a_4$$

Pro jednotlivé typy automatů a pro křížem soukací stroj rychleběžný jsou dále provedeny propočty užitečného výkonu a uvedeny v tab. I a na obr. 28 pro  $p = 0,5$ ;  $p = 1$ ;  $p = 2$ .

$$t_{3a} = \frac{1}{200}, \quad t_{3b} = 10, \quad t_{3c} = 6 \text{ (sec.)}$$

$$z_0 = z_1 + z_2 + z_3 = 30 + 15 + 5 = 50 \text{ sec.}$$

Potáče 100 g ntto.



Trhavost příze

obr. č. 28









Dále toto zařízení sestává z vyhledávací hubice 26 pro vyhledávání příze 27 na křížové cívce 17 a její dopravu do uzlovazače 28. Zařízení sestává dále z páky 29 se zařízení pro uchopení příze mezi prstencem 7 a potáčem 7a (30) otočné kolem čepu 31 pro podávání příze přibližně do dobu I tak, že příze jde od potáče k bodu I, dále od bodu I k prstenci 7 (běžci 8) a od běžce 8 k průtažnému zařízení 2.

Dále jest zde páka 32 otočná kolem čepu 33 s naznačeným zařízením 34 k přestřízení příze v bodě I, uchopené příze od potáče a zanešení této příze do brzdičky 35, čističů 36 a uzlovazače 28.

Dále zařízení sestává z páky 37 otočné kolem čepu 38 se zařízením 39 k přisunutí konce příze od zařízení 30 páky 29, k úchytnému zařízení 30a umístěném na příkl. na horním konci vřetene 3.

Na držák průtahového zařízení 2 jest dále umístěna páka 41 otočná kolem čepu 42 nesoucí na svém konci průtahové válečky odklopné za účelem zajištění přerušení dodávky pramene 43. Tato páka 41 je vybavena zařízením 44 (schematicky názorněným) pro přidržení pramene k horním válečkům průtahového zařízení.

Pojízdné odvíjecí zařízení sestává dále z odklopného urychlovače 45 odvíjecím se samonaváděcím očkem 46. Tato zařízení jsou uchycena na páce 47 otočně kolem čepu 48.

Dopřádací stroj sestává dále z transportního pásu 50 pocházejného na příkl. válcem 51 pro odsun křížových cívek 17. Dále jest zde blokově naznačeno zařízení 60 na výměnu křížové cívky při dosažení jejího žádaného průměru.

Další provedení navrhovaného zařízení (obr. 6) je až po bod 28 (uzlovazač) stejné jako u provedení popsaného výše. Dále sestává ze zařízení 101 (vyznačené pouze pákou), které má uchopiti potáč 102 a zanést ho do odsoukávací polohy 103a, kde sedí potáč na otočném talíři 104 kolem osy 105.

















Pro úplnost uvádím přehled technicko ekonomických ukazatelů ve srovnání se známými způsoby výroby příze.

Technicko ekonomický rozbor bude vypracován porovnáním navrhovaného řešení proti DP 75 + Totex 2005.0 jako první varianta a dále proti BD 200 + Totex 2000.6 jako druhá varianta.

#### Výpočet a přehled nákladů a úspor v textilním průmyslu

##### I. Srovnatelný stroj a výrobek

Jako srovnatelný výrobek bude použita příze Čm 40/1 ba AI. Technologie výroby i strojní zařízení až do druhé pasáže posukování vč. jsou uvažovány totožné. Doprádacím strojům je předkládán pramen Čm 0,28 navinutý na cívce. Předložený pramen vypřádá na Čm 40/1 doprádací stroj

I. alter. DP 75 - prstencový, výsledný tvar potáč,  
BD 200 - bezvřeten. dopřád. stroj - výsledná  
cívka-slunečnicová křížová cívka

II. alter. DP 75+ODSUK - prstencový s odsoukáváním,  
výsledný tvar nasoukaná křížová cívka.

Před technologickou operací snování, resp. kanetování útku je nutno potáč z prstencového doprádacího stroje DP 75 soukat na kříž. cívce. Před dalšími technologickými operacemi následujícími za BD 200 se předpokládá, že bude příze přesoukávána ze slunečnicové cívky na křížovou cívku zdvih 150 mm.

Roční plán výroby je uvažován ve výši 1800 t příze Čm 40/1 ba AI ve dvousměnném provozu s fondem pracovní doby 4000 hodin za rok.

parametry		porovnávané výrobky			nový výrobek	
stroje	náhr.	DP 75 jedn	SD 200 Totex 2000	ind.	DP 75 odsuk	
stroje (cen. limit)	Kčs	157 000	358 000		240 000	
výr. u uživatele		příze	čá 40/1 ba AI na křížových cívkách			
rychl. v m/min.	m	14,36	32,99		14,36	
v %	%	100	600			
na hod./1 místo	s	92	95		92	
wjz./1 místo	kg	85	72			
um stroje	kW	19,817	46,668		19,817	
napoj. sl. energie	kWh	4142090	4216900		4269600	
plocha stroje	m <sup>2</sup>	42,201	45,495			
invest.v.plocha	m <sup>2</sup>	27,664	31,320		42,201	
živda, (vřet.)	kg	3260	2560		2954	
strojů	ks	22680	9800		22 680	
z cloupců		352	720			
		10 à 324	48 à 200		70 à 324	
		1 à 32	12 à 60			
početní ukazatele		3 : 1		3 : 2		
za sl. energie		- 3,1	- 1,2			
za provoz.plochy v %		9,4	- 15,4			
za VD na kg/hai.		58,079	19,144			
kapota stroje v Kčs		14,934	4,923			
produk. práce v %		55,6	- 7,7			
za prac.sil na 1 str.		0,7143	- 0,1			
za invest.nákladů na 1 stroj						
st. ukazatele:						
kvantit.tvorby nové techn.		0,68	abs.var.			
obrády v letech		1,5	3,5			









Závěr:

Porovnání stroje DP 75 ODSUK proti stroji DP 75 + Totex 2005.0

Při informativní ceně stroje DP 75 Odsuk ve výši 240 000 Kčs by bylo dosaženo 58,079 hal. úspory na 1 kg příze Čm 40/1 ba AI na křížovou cívku. Přepočteno podle výrobnosti by činila roční úspora na stroj 14 934 Kčs. Rozdíl jednorázových nákladů by bylo zvýšení 21 811 Kčs/stroj. Koeficient tvorby nové techniky by měl hodnotu 0,68 a jeho pěevrácená hodnota by udávala dobu návratnosti rozdílu jednorázových nákladů na 1,5 roku.

U spotřeby el. energie by došlo ke zvýšení o 3,1 %.

Úspora potřeby provozní plochy by činila 9,4 %.

Produktivita práce by se zvýšila o 55,6 % a úspora pracovníků na 1 stroj by činila 0,7143.

Porovnání stroje DP 95 Odsuk proti stroji BD 200 a Totex 2000.6

Při informativní ceně stroje DP 75 Odsuk ve výši 240 000 Kčs a informat. ceně BD 200 ve výši 358 000 Kčs a ceně stroje Totex 2000.6 ve výši 81 100 Kčs by bylo dosaženo 19,144 hal. úspor na 1 kg příze čm 40/1 ba AI na kříž. cívkách. Přepočteno dle výrobnosti by činila roční úspora na stroj 4 923 Kčs.

Rozdíl jednotárových nákladů by byla úspora 12 634 Kčs/stroj. Koeficient tvorby nové techniky nelze počítat, protože dochází k úspore u vlastních nákladů výroby a rozdíl jednorázových nákladů je úspora, nastává t.zv. absolutní varianta řešení.

U spotřeby el. energie by došlo ke zvýšení o 1,2 %.

Zvýšení potřeby provozní plochy by činilo 15,4 %.

Produktivita práce by se snížila o 7,7 % a došlo by k zvýšení potřeby pracovníků na 1 stroj ve výši 0,1.

III. Teoretický rozbor a srovnání průběhu napětí v soukací linii všeobecně a hlavní vlivy na průběhy napětí.

---

Následující kapitola budé věnována rozboru napětí příze při soukání jako nejzákladnějšímu faktoru pro další technologické zpracování napředené příze.

Z teoretických hledisek byla otázka napětí příze v řadě publikací již dokenale rozebrána. Méně jsou však zpracovány a zveřejněny rozbory týkající se konstrukčních možností soukacích strojů v oblasti zásejnornění napětí během soukání různými konstrukčními prvky, všeobecně označovanými jako "omezovače balonu" ("omezovače napětí", "urychlovače odvijení"). Tyto prvky jsou téměř ve všech konstrukcích používány, avšak jejich konstrukce je velice různorodá. Není známa žádná práce, která by stanovila výhody a nevýhody jednotlivých konstrukčních řešení. Následující práce se bude zabývat výše uvedenou problematikou jak z hlediska stávajících soukacích strojů, používajících potáče ze stávajících dopřádacích strojů (IIIa), tak z hlediska navrhovaného nového řešení, které používá potáče s paralelním vinutím (IIIb) (dle obr. 1, 2 stati II).

IIIa Rozbor napětí příze na stávajících soukacích automatech  
(klasický potáč)

Na obr.č. 1 jsou znázorněny změny průměrného napětí příze v jednotlivých úsecích soukací linie. Následující obrázek č. 2 pak znázorňuje průběh napětí příze v jednotlivých úsecích soukací linie, a sice:

- a) průběh napětí příze během odšukávání potáče za potáčem bez omezovače balonu
- b) " " " za omezovačem balonu
- c) " " " za pomoc. zarážkou
- d) " " " za brzdičkou  
(deset zkoušek s brzdičkou talířovou, 10 zkoušek s brzdičkou prstovou)
- e) průběh napětí příze během odšukávání potáče za hlavní zarážkou

Zkoušky prováděny při rychlosti 1000 m/min. bavlna Čm 50/1 Omezovač balonu trojúhelníkového tvaru (dále označ. č. 2) při konstantní vzdálenosti potáče od omezovače balonu  $l = 25$  mm vychýlení potáče 0°.

Zkoušky prováděny pro každou alternativu s 10 potáči a do výše uvedených diagramů vzat střední průběh z těchto zkoušek.

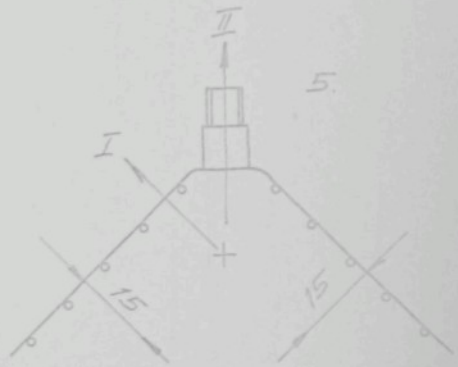
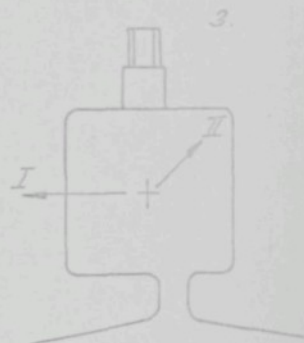
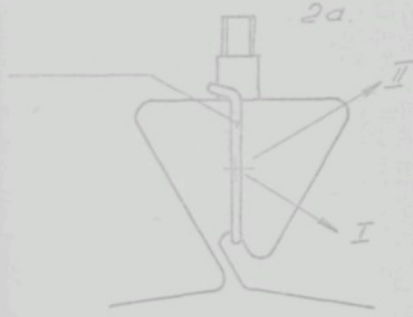
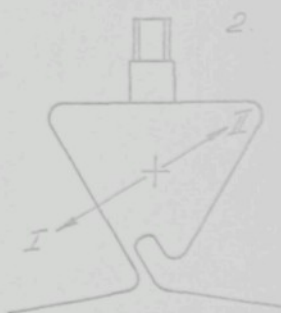
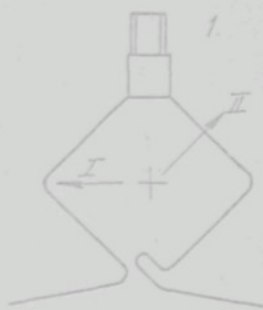




Mázory na otázky brzdění a čištění příze se v teorii i praxi v podstatě ustálily a není již z hlediska průběhu napětí příze zajímavé je dále rozebírat. Složitější se stala otázka zásejnomořnění napětí během soukání jednoho potáče, hlavně při stále se zvyšujících soukacích rychlostech na křížem soukacích strojích a automatech. V posledních 10 letech se objevuje řada omezovačů balonu které více či méně dobře zásejnomořní napětí příze během odšoukávání jednoho potáče. V následujícím bude podrobněji rozebrána kvalita jednotlivých již používaných omezovačů balonu a jiných konstrukčně možných alternativ, jak jsou znázorněny na fotografii č. 3. Bylo tedy užito celkem 7 druhů omezovačů, při čemž omezovač 1 - 5 byly zkoušeny ve dvou délkových alternativách ( 10 a 50 mm). Na obr. č. 4 jsou pak omezovače znázorněny ještě jednou, aby bylo možné ukázat konstrukční provedení omezovače 2a. Na tomtéž obr. je znázorněno vychýlení špičky potáče I-II. Rozměry na tomto obrázku odpovídají skutečnosti. Najednotlivých následujících diagramech 5 - 18 jsou znázorněny průběhy napětí, při čemž na každém diagramu jsou uvedeny parametry při kterých byly zkoušky provedeny (označení 1 - 7 koresponduje s číslem omezovače dle obr. 3 a 4).

Pro následující rozbory průběhu napěti na soukacích strojích je třeba podotknout, že na diagramech 5 - 12, 17 a 18 jsou rovněž znázorněny zkoušky bez omezovače-označené 0. (Č. zkoušky I-IX). Avšak pro jednoznačný horší průběh a nemožnost provedení těchto zkoušek pro všechny zkoumané závislosti omezovačů, nebyly tyto zkoušky pojaty do celkové tabulky 19 hodnotící kvalitu jednotlivých omezovačů. (Části zabývající se rozbory průběhu napěti na soukacích strojích - IIIa). Uspořádání měřicích přístrojů jest na obr. č. 23.



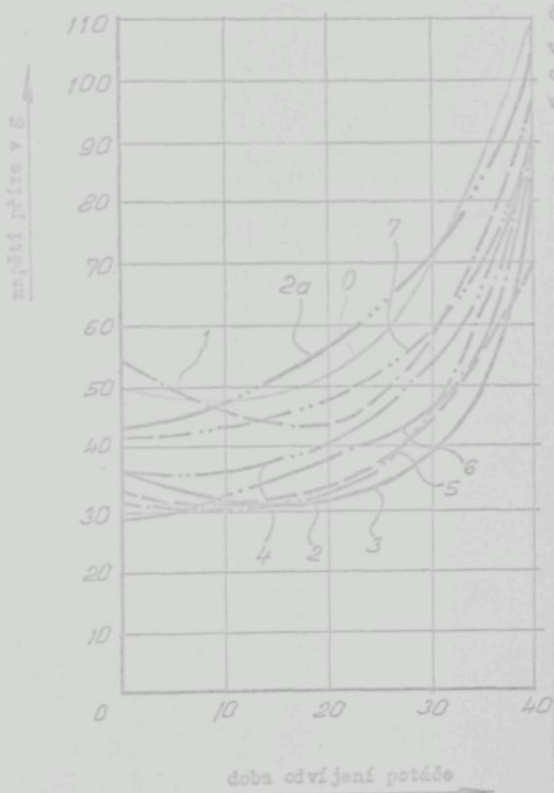


Příslušné vlivy na hmotnost písma během odvážení jednoho rotáče u různých cestování.



Průběh středního napětí příze během odvádzání jednoho potáče  
u různých omezovačí.

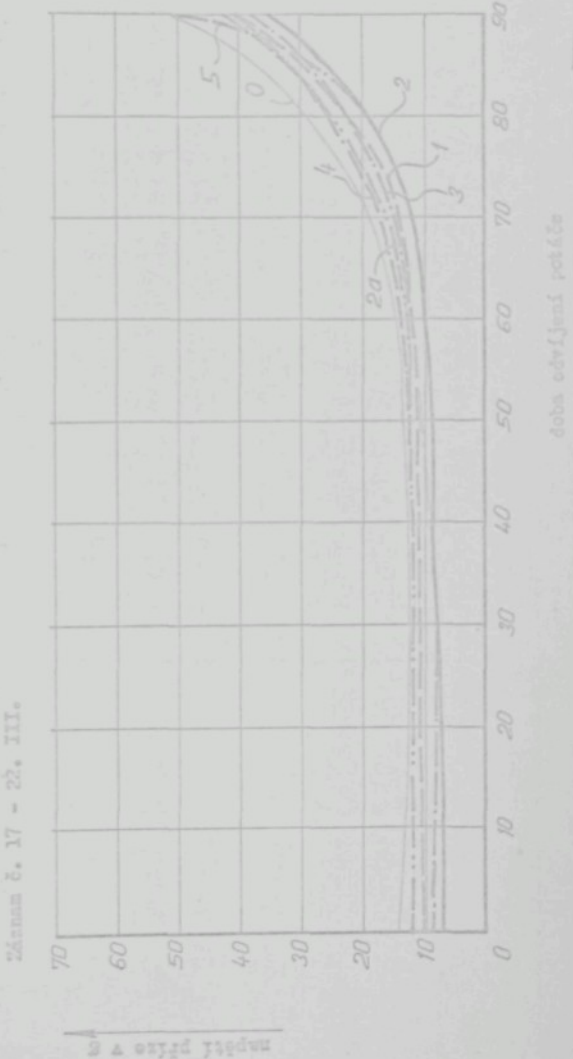
Záznam číslo 9 až 16; II.



délka omezovače 10 mm,  
číslo metrické 20/1-ta,  
česk.rychl. 1000 n/min.,  
vzdálenost špičky potáče  
od omezovače 50 mm,  
vyosení: 0

obr. 6

Průběh strukturálního rozpadu vlněných obojživelníků podle různých časových mezování.



obr. 7

Páka oceľová 50 mm,  
souh. rychl. 1000/min,  
vzdušnost roztvoru od spiny  
20% hmotnosti, polohy 25 mm,  
vyklenek potoka 0











Průběh atlašidloho napětí při se během odvádění jednotky potisku u různých emulzování.

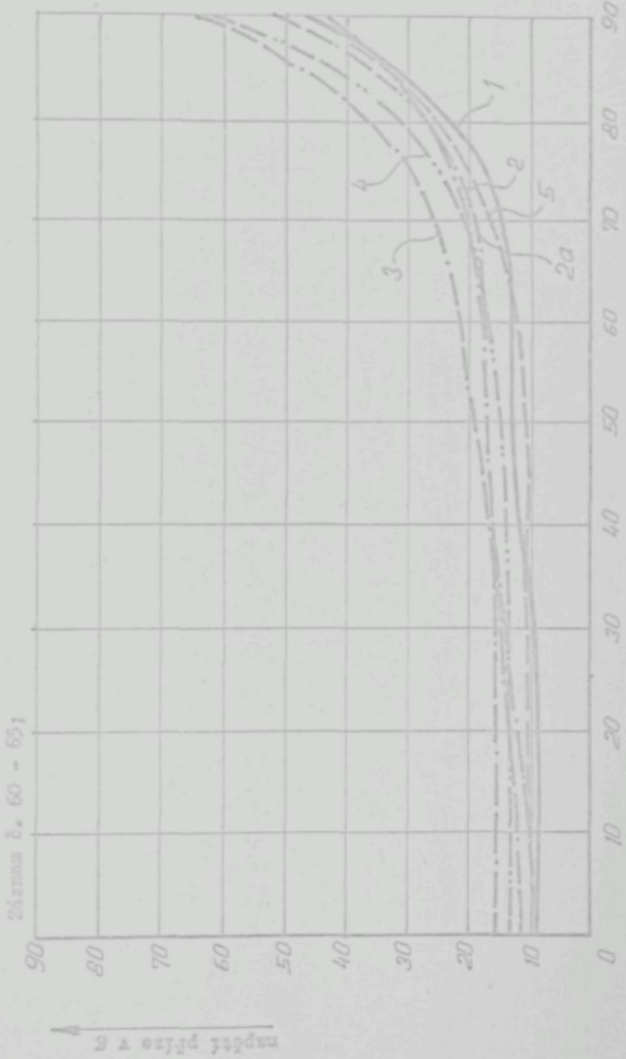


obr. 13

Tabul emulzování 20 mm,  
Na 20/l barvin  
Soluč. rychlosť 1000 m/min.,

doba odvádění potisku  
vydilence emulzování od hřívky potisku 25 mm,  
vydilence potisku od hřívky 10 mm,

Průběh stručného napětí při tříku během odmáčkávání jednotek rotátorů u různých konzervací



Doba odmáčkaní rotátorů

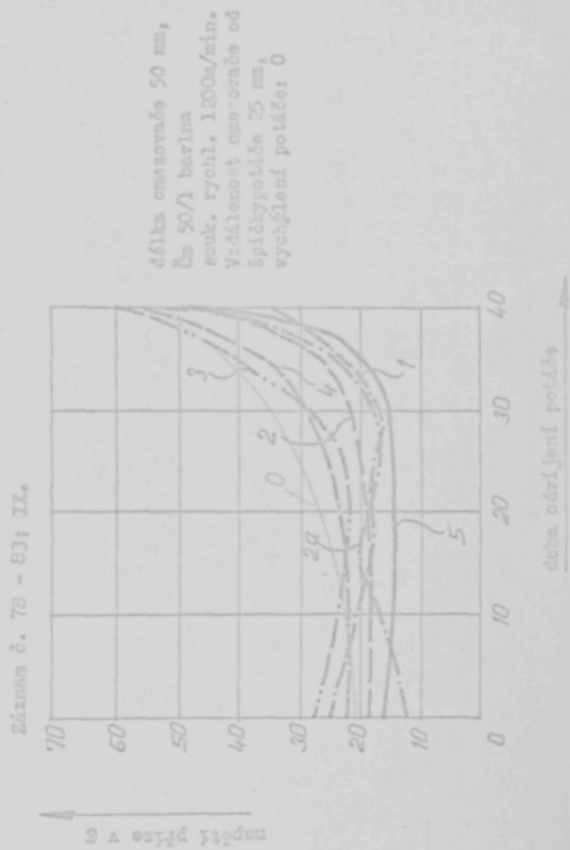
Náška konzervací 50 min,  
EVA 20/1, hladina od výhradky rovnala 25 mm,  
výkylem pětice snímků T<sub>1</sub> = 20 mm  
sama, rychlosť 1000 mm/min.,





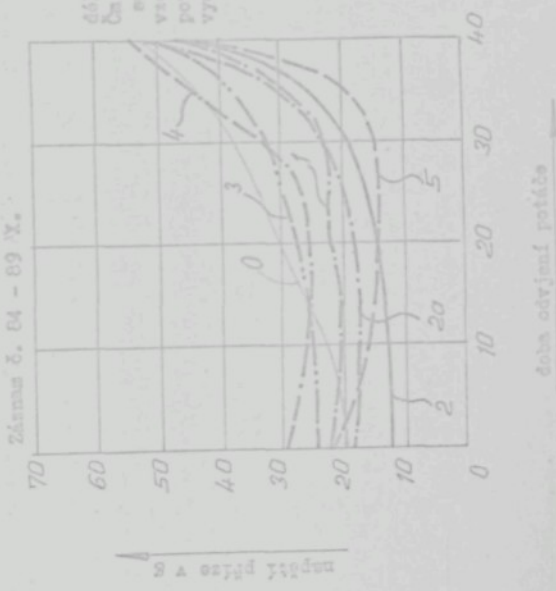
Průběh středního napětí při něm během odvádění jednoho potahu u různých otočování.

- 83 -



obr. 17

Průběh středního napětí příze během česuvání jednoho potáče u různých množin



obr. 18

Číslo omezenováče	1			2			2a			3			4			5			Ostatné			$\frac{N}{1}$		Pomáňka	
	p1	p	p1	p	p1	p	v	a	$\Sigma p_1$	$\Sigma p_2$															
Obr. 5	A	2945	5	2201	1	2627	3	2668	4	2964	6	2260	2	K					15675						
	B	1424	5	1033	1	1235	2	1330	4	1444	6	1373	3						50	50	7705	243	40,5		
	C	43	5	37	2	33	1	41	3	45	6	43	4												
Obr. 6	A	6207	5	4459	2	6914	6	4357	1	5345	4	4636	3	K					20	31718					
	B	5196	5	1159	2	3765	6	1129	1	1463	4	1367	3						50	50	6520	534	89		
	C	3596	5	70	1	104	6	83	2	91	4	90	3												
Obr. 7	A	2565	4	2071	1	2831	5	2927	3	2907	6	2223	2	D					50	15124					
	B	1225	4	1102	1	1292	5	1235	3	1365	6	1197	2						25	7426					
	C	37	2	35	1	41	4	40	3	42	5	50	6									245	40,8		
Obr. 8	A	3693	3	3693	2	4505	6	3977	4	4230	5	3647	1	D					20	23758					
	B	1003	4	988	3	1292	6	959	2	1216	5	855	1						25	6408					
	C	76	4	68	2	86	5	69	3	90	6	60	1								449	74,8			
Obr. 9	A	2850	5	2014	1	2226	6	2812	4	2394	3	2033	2	D					50	15026					
	B	1653	6	1102	2	1558	5	1349	4	1292	3	969	1						50	7792					
	C	48	6	44	3	46	5	40	2	45	4	39	1								262	43,8			
Obr. 10	A	4154	4	3693	1	5270	5	3723	2	5927	6	4103	3	D					20	26975					
	B	1254	4	950	1	1710	6	1140	3	1634	5	1102	2						50	7790					
	C	82	4	75	1	105	6	78	3	97	5	77	2								514	65,7			
Obr. 11	A	2165	3	2147	2	2767	1	2223	4	2755	5	2774	6	D					50	13951					
	B	1254	4	1216	3	988	1	1240	2	1520	5	1596	6						200	7714					
	C	50	5	38	2	40	3	36	1	46	4	60	5								266	44,7			
Obr. 12	A	2761	2	2507	1	2963	3	3242	5	3217	4	3050	6	D					20	10540					
	B	760	1	760	2	855	3	1178	5	969	4	1235	6						200	5757					
	C	60	2	60	1	77	4	92	6	75	5	87	6								451	75,1			
Obr. 13	A	2565	2	2912	4	3021	5	2413	1	3515	6	2774	3	D					50	17100					
	B	1463	4	1463	3	1130	2	1254	1	1938	6	1501	5						25	6946					
	C	43	1	58	5	44	2	44	3	91	4	73	6								313	52,1			
Obr. 14	A	2674	2	3287	3	3534	4	4142	6	3610	5	2879	1	D					50	19926					
	B	1368	1	1577	3	1634	4	2195	6	1962	5	1425	2						25	10751					
	C	48	3	43	1	53	4	65	6	63	5	47	2						20	119	53,1				
Obr. 15	A	2293	2	2956	4	4101	5	2793	3	4123	6	2128	2	D					50	17660					
	B	1235	2	1595	4	3938	5	1596	3	2033	6	1120	1						25	9225					
	C	39	2	48	3	62	6	48	4	54	5	33	1						10	284	47,3				



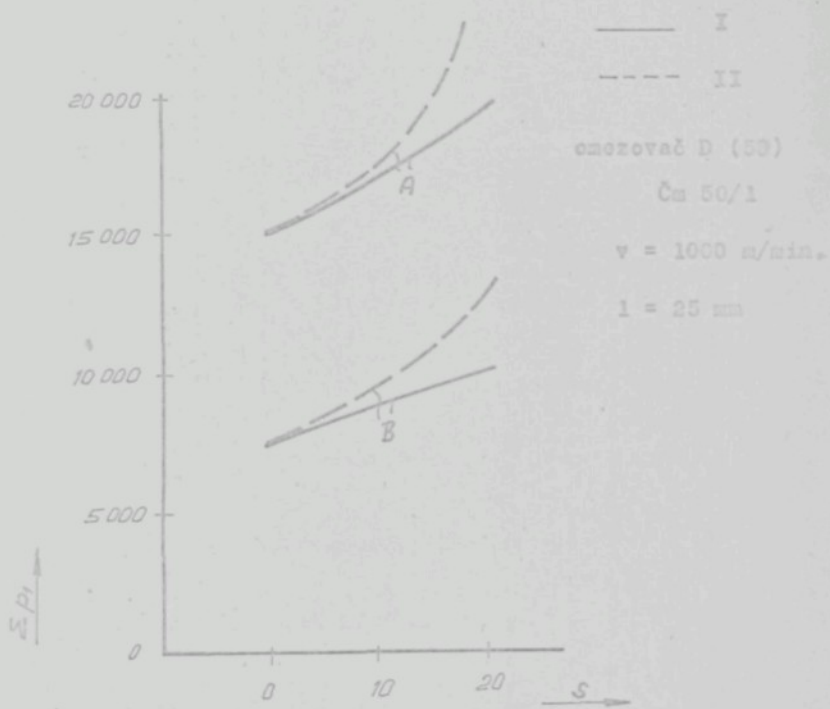
Pojmy k tabulce 19 a k obr. 20 a 21:

- $p_1$  v rubrice A - zplanimetrovaná plocha průběhu napětí příze během odšroukávání celého potáče v  $\text{mm}^2$
- $p_1$  v rubrice B - zplanimetrovaná plocha průběhu napětí příze během odšroukávání konce potáče
- $p_1$  v rubrice C - maxim. napětí příze
- $p_1$  - součet zplanimetrovaných ploch průběhu napětí u jednotl. omezovačů (A i B),
- P - pořadí omezovačů seřezováno 1 - 6 tak, že minim. plocha dostává pořadí 1, maximální plocha dostává pořadí 6, minim. napětí maximální dostává pořadí 1, maximální napětí maximální dostává pořadí 6.
- K - délka omezovače 10 mm
- D - délka omezovače 50 mm
- $\check{C}_m$  - číslo metrické(příze)
- v - soukací rychlosť v m/min.
- l - vzdálenosť špičky potáče od omezovače v mm
- s - vyosení potáče z osy omezovače v mm
- $P_2 \dots 20, 41$  - pořadí pro příslušné vyhodnocované zkoušky
- $\Sigma_A$  - součet pořadí 5-18 v řádku A
- $\Sigma_B$  - " " v řádku B
- $\Sigma_C$  - " " v řádku C
- $\Sigma_D$  - " " v řádku A, B, C
- $\Sigma_E$  - " 7, 9, 11, 13, 14, 15, 16 v řádku A
- $\Sigma_F$  - " " v řádku B
- $\Sigma_G$  - " " v řádku C
- $\Sigma_H$  - " " v řádku A, B, C
- $\Sigma_I$  - součet pořadí 17, 18, v řádku A
- $\Sigma_J$  - " " v řádku B
- $\Sigma_K$  - " " v řádku C
- $\Sigma_L$  - " " v řádku A, B, C

$\Xi_M$	- součet pořadí 5,6 v řádku A
$\Xi_N$	- " v řádku B
$\Xi_0$	- " v řádku C
$\Xi_P$	- " v řádku A,B,C
$\Xi_R$	- součet pořadí 7, 13, 14, 15, 16 v řádku A
$\Xi_S$	- " v řádku B
$\Xi_T$	- " v řádku C
$\Xi_V$	- " v řádku A,B,C



Závislost zplanimetrovaných ploch průběhu napětí příze  
u jednotlivých omezovačů balonu na výosení špičky potáče  
ve směru šípky I a II (dle obr.4)



obr. č. 21





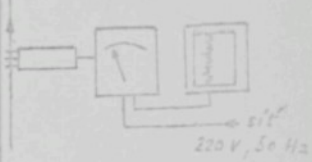
23.00.04.1

příze

měr. hlava

měr. přístroj

registr. přístroj



(Přístroj Rothschild pro  
měření napětí příze)

obr. 23

Závěry ke statí III a

---

- z hlediska všech provedených zkoušek se jeví pořadí omezovačů následující: 2, 5, 1, 3, 2a, 4,
- z hlediska všech provedených zkoušek, avšak s přihlédnutím pouze k průměrnému napětí během odsekávání celého potáče (A) je pořadí omezovačů následující: 2, 5, 3, 1, 2a, 4
- z hlediska všech provedených zkoušek, avšak s přihlédnutím k průměrnému napětí u konce soukaného potáče (B) je pořadí omezovačů následující: 2, 5, 1, 3, 2a, 4
- z hlediska všech provedených zkoušek, avšak s přihlédnutím pouze k maxim. napětí při soukání potáče (C) je pořadí omezovačů následující : 2, 1, 5, 3 , 2a, 4.
- z hlediska zkoušek provedených pouze pro dlouhé omezovače přízí Čm 50/1 soukací rychlosť 1000 m/min. a různé vzdálenosti l a různá vyosení s je pořadí následující:
  - u všech zkoušek 2, 5, 1, 3, 2a, 4
  - A - celý průběh 5, 2, 1, 3, 2a, 4
  - B - konec průběhu 2, 5, 1, 3, 2a, 4
  - C - max.napětí 2, 1, 5, 3, 2a, 4
- z hlediska zkoušek provedených pro dlouhé omezovače pro přízí Čm 50/1 soukací rychl. 1200 m/min. vzdálenosti l = 25 a 50 mm, pro nulové vyosení je celkové pořadí omezovačů následující: 5, 1, 2, 2a, 3, 4.
- z hlediska zkoušek provedených pro krátké omezovače pro Čm 50/1 a 20/1 soukací rychl. 1000 m/min a vzdálenost l = 50 mm vyosení s = 0, je pořadí následující: 2, 3, 5, 2a, 1, 4.
- z hlediska zkoušek provedených pro dlouhé omezovač Čm 50/1, v = 1000 m/min., l = 25 mm a různá vyosení s je pořadí omezovačů následující: 1, 5, 2, 3, 2a, 4.

Dále lze usuzovat, že z hlediska vzdálenosti špičky potáče od omezovače je nejhorší vzdálenost cca 75 mm, čímž je tato vzdálenost menší nebo větší dosahuje se menšího napětí, jak u celkového středního napětí, tak u středního napětí konce potáče, viz obr. 20. Z hlediska vyosení potáče je horší vyosení ve směru šipky II, viz obr. 21.

- Z hlediska délky omezovače je výhodnější použití omezovače delšího, jak při průměrném napětí během odsoukávání celého potáče, tak při průměrném napětí během odsoukávání konce potáče, jak je ukázáno na obr. 22.



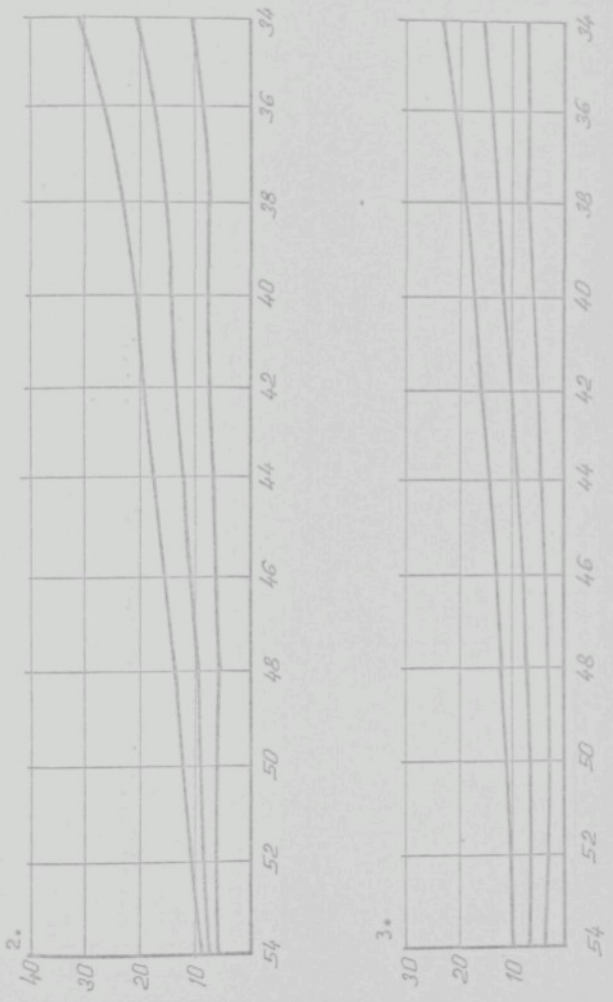
Průběh napětí příloženou čáru pro oznamovací číslo v návštěvostí na předmětu  
odschívatelného potisku.



obr. 1

Průběhu napětí příze pro osazování 2 a 3 v závislosti na průměru rotáčky.

- 96 -



obr. 2

Příloha náročného průměru pro časovadlo č. 4 a 5 v závislosti na průměru potoku



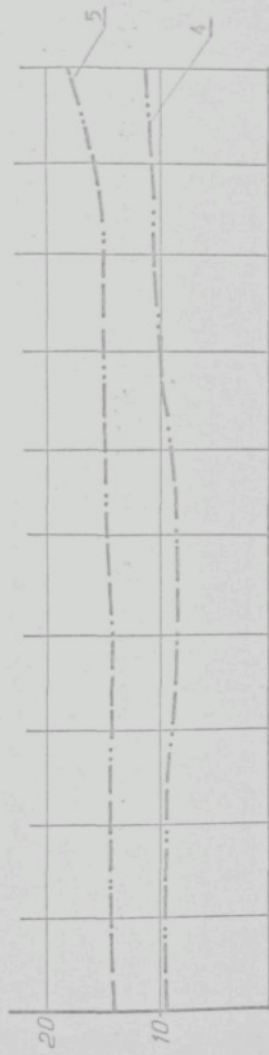
obr. 3



náročný průměr v m

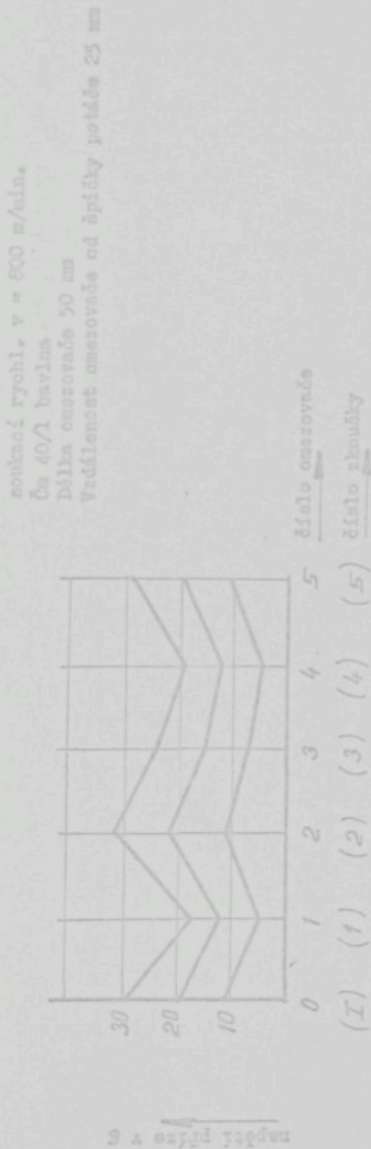
průměr potoku

Průběh středního napětí příze bez ohněvání a ohněvání I. náš 5  
v závislosti na průměru potáže.



obr. 4

Závislost průměrného sestříkáního a minimálního rychlosti pásku na jeho hmotnosti  
družích měřených



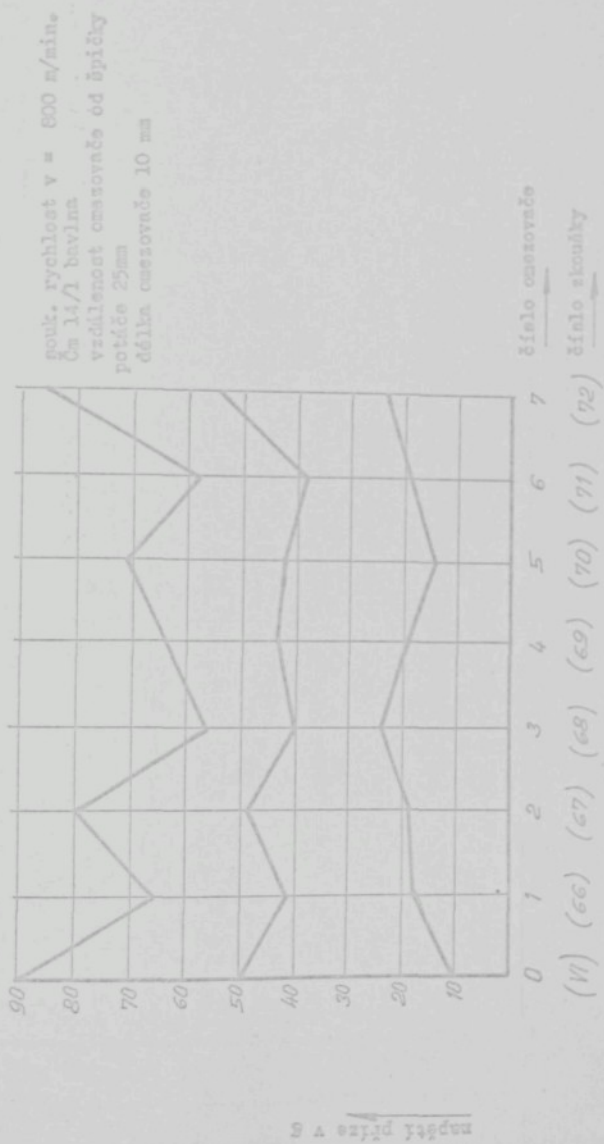
obr. 5







Závislost průměrného sítadlovitosti a sítidlovitosti na řízení využitím jednotlivých druhů emasorů.





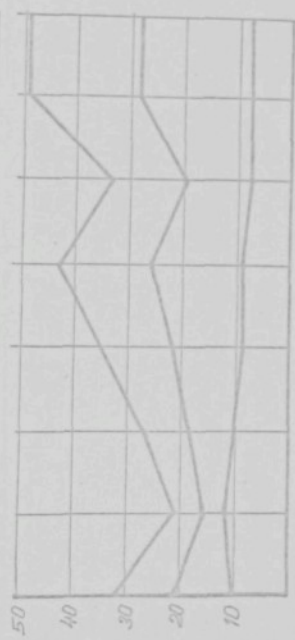
Závislost průměrného řídkosti příze na vzdálenosti řídky protáže od omezení.

$\mu_{\text{prům.}} \text{ a } \text{min}^{-1}$

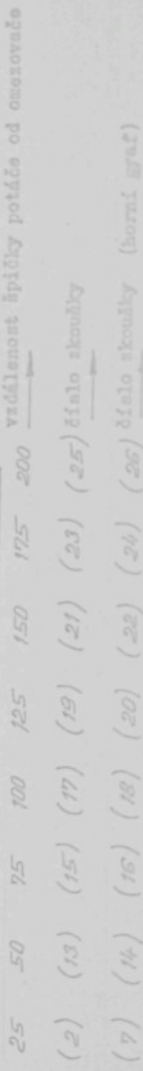


Um 40/l bavlna  
omezenováč č. 2  
délka omezenováče 10 mm  
soutěžní rychlosť v = 800 mm/min.

- 105 -



Um 40/l bavlna  
omezenováč č. 2  
délka omezenováče 50 mm  
soutěžní rychlosť v = 800 mm/min.



vzdálenost řídky protáže od omezení

(2) (13) (15) (17) (19) (21) (23) (25) (26) → řídký šířko

(7) (14) (16) (18) (20) (22) (24) (26) ← řídký šířko

obr. 11













IV Použité uzly při soukání křížových cívek a výhodnost použití jednotlivých typů uzelů.

---

V této části budou krátce zhodnoceny používané uzly při soukání v závislosti na technologickém zpracování příze v dalších operacích.

Bylo použito literatury: Textile Industries April 1958,  
str. 127 "Are we using the  
wrong knot?"

Ve výše uvedeném článku autoři ukazují na kvalitu jednotlivých uzelů při následujícím zpracování (na tkalcovském stavu). Zkoušky byly prováděny na vlnné přízi různých čísel, při zkoušení 300 uzelů každého čísla příze. Tyto výsledky byly prověřeny a doplněny hodnocením uzlu Minifast.

Hodnoty jsou na diagramu na listu č. 4.

Na listu č. 3 jsou znázorněny uzly ve dvou pohledech:

- 1) tkalcovský pravý
- 2) tkalcovský nepravý
- 3) tkalcovský dvojitý
- 4) soukenický
- 5) rybářský pravý
- 6) rybářský nepravý
- 7) babský
- 8) napínací
- 9) minifast.

Správný uzel svazující dva konce příze má mít následující vlastnosti:

- 1) objem uzlu má být co nejmenší,
- 2) uzel se nemá rozvazovat během dalšího zpracování
- 3) konce svázaných přízí mají být krátké, aby se nezaplétaly do sousedních nití osnovy při tkání,
- 4) uzel má být nenápadný ve výrobku,
- 5) pokud možno snadný při svazování.

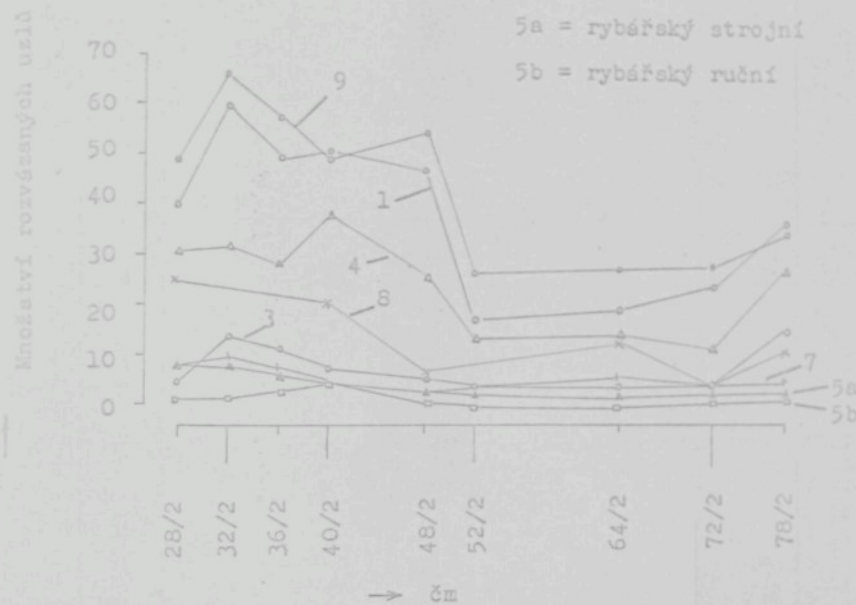
Diagram na listu 5 ukazuje, že množství poruch zapříčiněných uzlem je ovlivněno sice číslem příze, avšak mnohem větší vliv má typ uzlu. Z diagramu je patrné, že největší počet poruch vzniklých uzly bylo u uzlu minifast, tkalcovského a soukenického.

Pokud jde o rozměry uzlu, jest na diagramu (list 5) znázorněno jejich zhodnocení podle obsahu příze a rozměru. Z diagramu je patrné, že podle množství příze v uzlu dostáváme tento sled:

minifast, soukenický, tkalcovský nepravý, tkalcovský, rybářský nepravý, rybářský, tkalcovský dvojitý, zatahovací, babský. Podle maximálního rozměru uzlu ve směru pohybu příze při tkání (b nebo c) bude potom sled následující:  
minifast, tkalcovský pravý, tkalcovský nepravý, zatahovací, soukenický, rybářský nepravý, rybářský pravý, tkalcovský dvojitý, babský.



Hodnocení uzlu na tkalcovském stavu





V. Tvorba křížové cívky

la) Hodnocení křížových cívek

K hodnocení křížových cívek je možno přistupovat z hlediska pohledů vlastního soukání a dalšího zpracování křížových cívek rozbořem následujících hlavních požadavků kladených na tvorbu, tvar a další vlastnosti křížových cívek.

Hodnotící hlediska:

- a) maximální váha příze na cívce při určitém konstrukci daném průměru,
  - b) jednoduchost soukání,
  - c) soudržnost příze na cívkovém tělese,
  - d) nejvhodnější odvijecí podmínky při dalším zpracování.
- 
- a) Z hlediska maximální váhy na cívce při určitém průměru daném požadavky konstrukce strojů a zařízení pro další zpracování je nejvhodnější cívka válcová. Dále následuje cívka kuželová a nejméně výhodné jsou cívky varickonické.
  - b) Z hlediska jednoduchosti soukání by bylo nejhodnější tvoření návinu s paralelním vinutím. Má tyto přednosti: malá pohybová rychlosť rozváděcího elementu, malé změny rychlosti v krajích při změně směru rozvádění, dlouhá životnost rozváděcích elementů. Zásadní nevýhodou jest špatná soudržnost přízevého tělesa.
  - c) Soudržnost příze na cívkovém tělese. V technické praxi se již ustálil určitý úhel křížení na cívkových tělesech pro ty které druhy materiálů a pohybuje se od 7 do 20°. ( $\alpha = 7-20^\circ$ )





1b) Tvar křížových cívek

a) Válcová



Obvyklé parametry:

- 1 - 80, 100, 125, 150, 180, 200, 220 mm
- φ - 180-240 mm

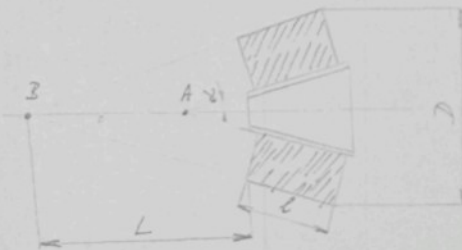
Výhody:

- maximální váha příze na křížové cívce,
- jednoduchý tvar drážky rozvaděče,
- jednoduché provedení držáku křížové cívky, s možností kvalitního uchycení křížové cívky (dvoustranné),

Nevýhody:

- špatný odtah (tření příze o návin při odtahu přes hlavu)  
Tato nevýhoda se hlavně projevuje u cívek s velkým zdvihem a při malé vzdálenosti vodicího očka od čela křížové cívky. (L).

b1) Kuželová cívka:



Obvyklé parametry:

- 1 - 125, 150, 180, 200, 220 mm

α - 3°30', 4°20', 5°57'

D - 160-280 mm (dle dalšího zpracování)

(na příklad pro  $α = 4^{\circ}20'$ , bude  $L \dots L_{60}$  vzdálenost

L pro průměr cívky φ 60)

$L_{60} = 240 \quad L_{140} = 760 \quad L_{180} = 1050, \quad L_{240} = 1470,$

$L_{60} = 240 \quad L_{140} = 760 \quad L_{180} = 1050, \quad L_{240} = 1470,$

pro  $α = 5^{\circ}57'$ ,  $L_{180} = 715$  mm.

Výhody:

- maximální váha příze na křížové cívce (při vyloučení cívky válcovékm)
- jednoduchý tvar rozvaděče
- jednoduché provedení držáku přízové cívky s možností kvalitního uchycení křížové cívky

Nevýhody:

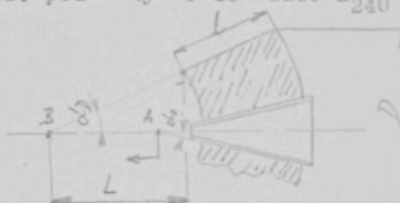
- špatný odtah-při konstrukčně obvyklém uchycení bodu B do vzdálenosti 300-500 mm dochází k tření příze o návin při stahování příze přes hlavu.

b2) Kuželová cívka superkonická:

Zvláštní případ kuželové cívky, kde  $6 < \alpha < 9^{\circ}15'$ .

Pro tuto cívku na příkl. při  $\alpha_o = 9^{\circ}15'$ , bude  $L_{240} = 584$  mm.

c) Variokonická cívka:



Obvyklé parametry:

$l = 125, 150, 180, 200$        $\alpha_o = 9^{\circ}15'$ ;  $D = 160-280$  mm

Na příkl. pro  $L = 300$        $\alpha_D = 15^{\circ}30'$ ; pro  $D = 240$  mm

$\alpha_D = 18^{\circ}$ , pro  $D = 280$  mm

Pro  $L = 500$  mm       $\alpha_D = 11^{\circ}$ , pro  $D = 240$  mm a  $\alpha_D = 13^{\circ}$

pro  $D = 280$  mm

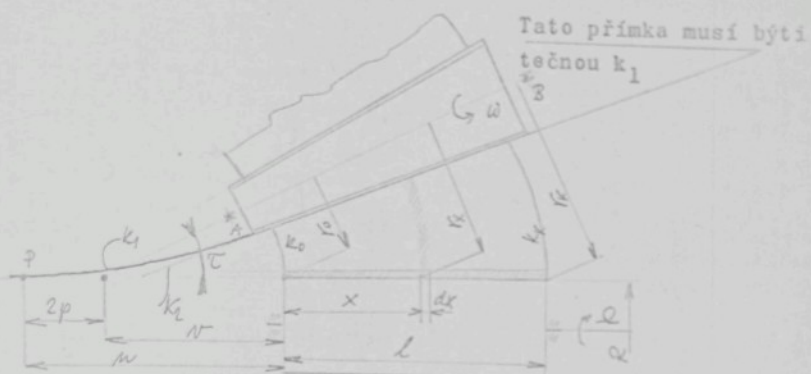
Výhody:

- dobrý odtah příze z křížové cívky

Nevýhody:

- malý obsah příze na křížové cívce,
- složitější drážka v rozvaděči
- složité provedení držáku křížové cívky a složité obyčejně jednostranné uchycení křížové cívky.

2. Geometrické a kinematické poměry při navíjení křížové cívky



Cívka je otočně uložena v držáku, který je částí prostorového mechanismu s jedním stupněm volnosti. Dráhy bodů A a B jsou prostorové křivky; protože však jsou jen málo odlišné od křivek rovinných, lze rovinných křivek užít k approximaci skutečných poměrů.

Vrstva návinu vytvořená v určitém krátkém časovém intervalu má mít lichoběžníkový průřez.

Elementy omezujících křivek  $k_o$  a  $k_k$  musí být kolmé k dotykové povrchové rozvaděče. Tato vlastnost musí být zachována v průběhu celého navíjení. Délka rozvaděče, v níž je vytvořena drážka, je konstantní (l). Tyto vlastnosti lze realisovat jen tehdy, když omezující křivky  $k_o; k_k$  jsou ekvidistanty (distance l), jejichž společnými normálami jsou přímky soumístné s dotykovými površkami při relativním pohybu rozvaděče vzhledem k cívce.

Jelikož ekvidistanty musí mít společnou evolutu (geometr. místo středu křivosti) a pouze body na tečné polodílu mají tentýž bod jako střed křivosti (pól) plyne odtud, že evoluta omezujících křivek je jednou z polodílu regulařního pohybu ( $k_1$ ), druhou polodílu pak je přímka ( $k_2$ ) jež je dotykovou površkou rozvaděče.

Euler-Savaryho věta o středech křivosti:

$$\left( \frac{1}{m} - \frac{1}{s} \right) \sin \gamma = \frac{1}{d_0}$$

kde  $m$  = orientovaná vzdálenost bodu od polu  
 $s$  = orientovaná vzdálenost středu křivosti trajektorie od polů

$\gamma$  = úhel normály s tečnou polodíjí  
 $d_o$  = průměr kružnice obratu

$\gamma = 0$  ... normála splývá s tečnou polodíjí, takže  
 $m = n + x$

$\gamma = 0$ , protože  $\gamma = \frac{\pi}{2}$   
mezi polodíjí a normálou

~~průměru~~

$$\left( \frac{1}{n+x} - \frac{1}{s} \right) \cdot \sin 0 = \frac{1}{d_o} \quad \frac{1}{n+x} - \frac{1}{d_o \sin_0} = \frac{1}{s}$$

$$\frac{1}{s} \rightarrow -\infty$$

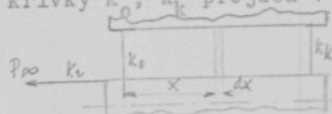
$$x \rightarrow \infty$$

Z Euler-Savaryho věty rovněž vyplynulo, že relativní trajektorie všech bodů dotykové přímky rozvaděče mají evolantu  $k_1$  a jsou opět ekvidistantami  $k_o, k_k$ .

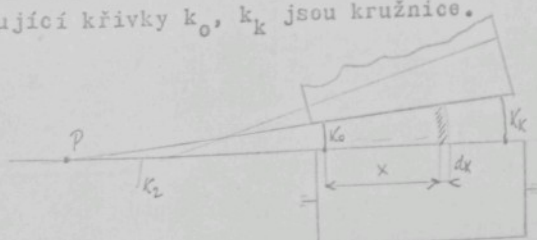
Mechanismus držáku cívky musí být konstruován tak, aby jeho polodiemi byly  $k_1$  a  $k_2$ . Protože  $k_2$  je vždy přímou, mohou se mechanismy lišit pouze tvarem polodia  $k_1$ .

#### Speciální případy:

a)  $k_1$  přejde v nevlastní bod přímky  $k_2$ : návin pravoúhlého průřezu; omezující křivky  $k_o, k_k$  přejdou v přímky



b)  $k_1$  přejde ve vlastní bod  $P$  přímky  $k_2$  - relativní pohyb je rotace kolem stálé osy. Návin ve tvaru výseče mezikruží - omezující křivky  $k_o, k_k$  jsou kružnice.

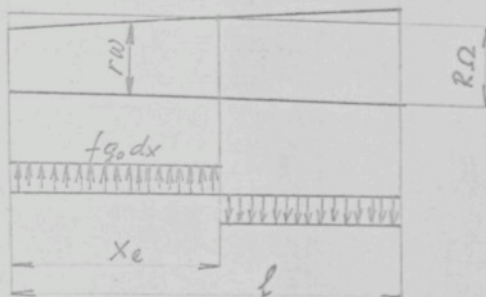


3. Rotace cívky vzhledem k držáku.

Rozvaděč má nucený pohyb s konstantní úhlovou rychlostí  $\omega$ . Cívka je k němu přitlačována a je jím poháněna.

Okamžitou úhlovou rychlosť cívky  $\omega$  stanovme za předpokladu rovnomořného měrného tlaku podle površky ( $g_0$ ) a při zanedbání pasivních odporů a tahu příze.

$x_0$  určuje polohu bodu, v němž rychlosti cívky a rozvaděče jsou stejné.



$$\int_0^l \frac{R\omega - r\omega}{|R\omega - r\omega|} f g_0 r dx = 0$$

$$r = r_0 + \frac{x}{l} (R - r_0)$$

$$\int_0^{x_0} r dx = \int_{x_0}^l r dx$$

$$r_0 x_0 + \frac{x_0^2}{2l} (R - r_0) = r_0 (l - x_0) + \frac{l^2 - x_0^2}{2l} (R - r_0)$$

$$\theta = r_0 (-2x_0 + l) + \frac{r_0 - r_0}{2l} (l^2 - 2x_0^2)$$

$$\frac{x_0}{l} = 2 ; \quad \frac{r_0}{R} = \alpha$$

$$\theta = \alpha (1 - 2\alpha) + \frac{1-\alpha}{2} (1 - 2\alpha^2)$$

$$\alpha(1-\alpha) - \frac{1-\alpha}{2} - \alpha + 2\alpha^2 = \theta$$

$$x^2 + 2x \frac{x}{1-x} - \frac{1+2x}{2(1-x)} = 0$$

$$z_{1,2} = -\frac{x}{1-x} \pm \sqrt{\frac{x^2}{(1-x)^2} + \frac{1+2x}{2(1-x)}}$$

$$z = \frac{1}{1-x} \left[ -x + \sqrt{\frac{2x^2 + 1 - 2x^2}{2}} \right]$$

$$z = \frac{1}{1-x} \left[ -x + \sqrt{\frac{1+2x^2}{2}} \right]$$

jelikož  $x > 0$ , má význam pouze kladné znaménko odmocniny

$$0 < \frac{r_0}{r_e} < 1$$

$$z(0) = \frac{\sqrt{2}}{2}$$

$$\lim_{x \rightarrow 1^-} z = \lim_{x \rightarrow 1^-} \frac{-1 + \frac{1}{2} \frac{2x}{\frac{x}{1-x}}}{-1} = \frac{1}{2}$$

$$\frac{\sqrt{2}}{2} > \frac{x_e}{e} > \frac{1}{2}$$

$$R = R_0 + z(x_e - r_0)$$

$$R_w = 2 \Omega$$

$$w = \frac{R \cdot Q}{R_0 (1-z) + R_w z}$$

$$z = -\frac{r_0}{r_e - r_0} + \sqrt{\frac{r_e^2 + r_0^2}{2(r_e - r_0)^2}}$$

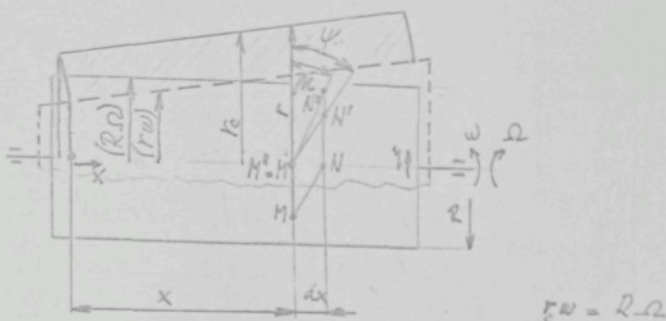
$$z = \frac{1}{r_e - r_0} \left[ -r_0 + \sqrt{\frac{r_e^2 + r_0^2}{2}} \right]$$

$$r_e = r_0 - r_0 + \sqrt{\frac{r_e^2 + r_0^2}{2}}$$

$$r_e = \sqrt{\frac{r_e^2 + r_0^2}{2}}$$

$$w = QR \sqrt{\frac{2}{r_e^2 + r_0^2}}$$

4. Ukládání příze na cívku



$$\nu = \omega \cdot t$$

$\overline{MN} - \overline{M'N'}$  ..... element drážky rozvaděče

$\overline{M''N''}$  ..... element příze na cívce

$$\overline{MM'} = \overline{NN'} = RQ dt \quad \overline{NN'} = rw dt = rQ \frac{R}{r_c} dt$$

Příze je ukládána ve šroubovicích se stoupáním  $\mu$  na kuželové ploše. Drážka rozvaděče jest šroubovice se stoupáním  $\psi$  na válcoví.

$$\tan \frac{\overline{MN}}{\overline{M'N'}} = \frac{\overline{NN''}}{\overline{N'N}} = \frac{r}{r_c} = \frac{(v+x) \sin \tau}{\sin \tau \sqrt{\frac{(v+l)^2 + v^2}{2}}} = (v+x) \sqrt{\frac{2}{(v+l)^2 + v^2}}$$

$$\tan \psi = \frac{\overline{NM'}}{\overline{N'N}} = \frac{\overline{M''N}}{\overline{N'N}} = \frac{\overline{M'N}}{\overline{N'N}} \cdot \frac{\overline{N''N}}{\overline{N'N}} = \frac{r}{r_c} \tan \mu$$

$$\tan \mu = \frac{r_c}{r} \tan \psi = \sqrt{\frac{(v+l)^2 + v^2}{2(v+x)^2}} \tan \psi$$

$$RQ(t-t_0) = \gamma - \gamma_0$$

$$\text{Elementární délka příze na cívce} \dots \overline{M''N''} = ds_p$$



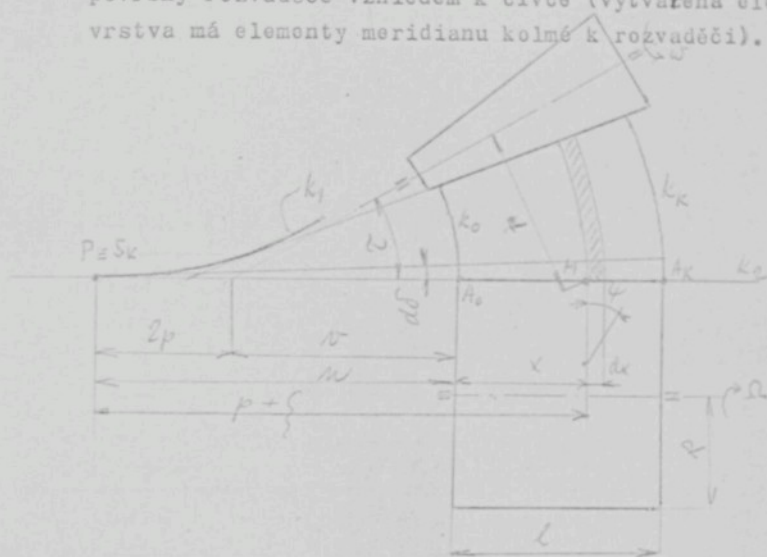
### 5 Drážka rozvaděče

Předpokládajme cívky s obecným návinem.

Meridián návinu má tyto vlastnosti:

- je omezen dvěma přímkami a dvěma ekvidistantními křivkami (relativní trajektorie  $A_0$ ,  $A_k$  vzhledem k cívce - závislé na konstrukčním uložení cívky).

Normály těchto ekvidistant jsou dány relativními polohami površky rozvaděče vzhledem k cívce (vytvářená elementární vrstva má elementy meridianu kolmé k rozvaděči).



$$\begin{aligned}\gamma - \gamma_0 &= R(\psi - \psi_0) \\ &= R\Omega(t - t_0)\end{aligned}$$

Objemový element návinu  $d^3V$

$$d^3V = dx \cdot S_k M \cdot d\delta \cdot 2\pi r$$

$$\bar{S}_k M = PM = \mu + x$$

$$r = (r + x) \sin \varphi$$

Délka elementu drážky rozvaděče

$$ds = \sqrt{dx^2 + dy^2}$$

Délka elementu příze

$$ds = \sqrt{dx^2 + \left(\frac{r}{c} dy\right)^2}$$

Zádáme-li, aby určitá elementární vrstva návinu měla rovnoměrně rozložený obsah příze, je třeba splnit podmínu:  $dV \sim ds$   
resp. při zanedbání prokluzu v drážce:  $dV \sim ds$

Vzhledem k tomu, že sledujeme funkci  $x = x(\gamma)$  v určitém čase  $t_1$  musí  $x$  splňovat podmínu:

$$dV = dx(n+x) d\delta \approx (n+x) \sin \tilde{\alpha}$$

$$ds = \sqrt{dx^2 + dy^2}$$

$$\frac{d^2 V}{d^2 (V)_0} \approx \frac{ds}{(ds)_0}$$

$$\frac{(n+x)(n+x)}{n \cdot n} = \frac{\sqrt{dx^2 + dy^2}}{\sqrt{dx^2 + dy^2}_0}$$

$$\frac{(n+x)(n+x)}{n \cdot n} = \frac{\sqrt{1 + \left(\frac{dy}{dx}\right)^2}}{\sqrt{1 + \left(\frac{dy}{dx}\right)_0^2}}$$

Tuto rovnici lze psát:

$$(n+x)(n+x) = K \cdot \sqrt{1 + \left(\frac{dy}{dx}\right)^2}$$

což jest diferenciální rovnicí drážky křivky rozvaděče

$$K = \frac{n \cdot n}{\sqrt{1 + \gamma_0'^2}} = \frac{n \cdot \tau}{s'_0}$$

$$\frac{dy}{dx} = \pm \sqrt{\frac{(n+x)^n (v+x)^v}{K^n} - 1}$$

$n > 0$

$v > 0$

$$K^n = \frac{n v^n}{1 + \gamma_0^{1/n}}$$

Opačný smysl  $\gamma - \gamma_0$  jest pro sestupnou část drážky rozvaděče, tedy pro  $x < 0$

$$\gamma - \gamma_0 = \int_0^x \sqrt{\frac{(n+x)^n (v+x)^v}{K^n} - 1} dx$$

$$\gamma - \gamma_0 = \frac{1}{K} \int_0^x \sqrt{[(n+x)(v+x) + K][(n+x)(v+x) - K]} dx$$

$$\gamma - \gamma_0 = \frac{1}{K} \int_0^x \sqrt{\left[x + \frac{n+v}{2}\right]^2 - \left(\frac{n+v}{2}\right)^2 + n v + K} \left[\left(x + \frac{n+v}{2}\right)^2 - \left(\frac{n+v}{2}\right)^2 + n v - K\right] dx$$

$$\gamma - \gamma_0 = \frac{1}{K} \int_0^x \sqrt{\left[\left(x + \frac{n+v}{2}\right)^2 - \left(\frac{n-v}{2}\right)^2 + K\right] \left[\left(x + \frac{n+v}{2}\right)^2 - \left(\frac{n-v}{2}\right)^2 - K\right]} dx$$

$$\begin{aligned} f &= x + \frac{n+v}{2} \quad | \quad df = dx \quad ; \quad \gamma_0 = \frac{n+v}{2} \end{aligned}$$

Rozlišme dva případy:

$$\textcircled{1} \quad a_1^2 = K - \left(\frac{n-v}{2}\right)^2 = \frac{n v}{\sqrt{1 + \gamma_0^{1/2}}} - \left(\frac{n-v}{2}\right)^2 > 0$$

$$\textcircled{2} \quad a_2^2 = \left(\frac{n-v}{2}\right)^2 - K = \left(\frac{n-v}{2}\right)^2 - \frac{n v}{\sqrt{1 + \gamma_0^{1/2}}} > 0$$

$$f^2 = K + \left(\frac{n-v}{2}\right)^2 > 0$$

Prvé řešení:

- 130 -

$$\eta - \eta_0 = \frac{1}{K} \int_{\xi_0}^{\xi} \sqrt{(\xi^2 + a_1^2)(\xi^2 - b^2)} \, d\xi$$

platí pro:  $\xi > b > 0$

$b > a_1 > 0$

Druhé řešení:

$$\eta - \eta_0 = \frac{1}{K} \int_{\xi_0}^{\xi} \sqrt{(\xi^2 - a_2^2)(\xi^2 - b^2)} \, d\xi$$

pro:  $b > a_2 > 0$

$\xi > b > 0$

Oba případy postihují toto vyjádření:

$$a^2 = |K - \left(\frac{u-v}{2}\right)^2|$$

$$K - \left(\frac{u-v}{2}\right)^2 > 0 \Rightarrow a^2 = a_1^2$$

$$K - \left(\frac{u-v}{2}\right)^2 < 0 \Rightarrow a^2 = -K + \left(\frac{u-v}{2}\right)^2 = a_2^2$$

$$\eta - \eta_0 = \frac{1}{K} \int_{\xi_0}^{\xi} \sqrt{(\xi^2 \pm a^2)(\xi^2 - b^2)} \, d\xi$$

pro:  $\xi > b > a > 0$

$$K(\eta - \eta_0) = \int_{\xi_0}^{\xi} 1 \cdot \sqrt{(\xi^2 \pm a^2)(\xi^2 - b^2)} \, d\xi$$

Při integraci per-partes zavedeme:

$$g' = 1 \quad f = \sqrt{(\xi^2 \pm a^2)(\xi^2 - b^2)}$$

$$g = \xi \quad f' = \frac{1}{2} \cdot \frac{2\xi(\xi^2 - b^2) + 2\xi(\xi^2 \pm a^2)}{(\xi^2 \pm a^2)(\xi^2 - b^2)}$$

$$K(q - q_0) = \left[ \xi \sqrt{(\xi^2 \pm a^2)(\xi^2 - b^2)} \right]_{\xi_0}^{\xi} - \underbrace{\left( \frac{\xi^4 - b^2 \xi^2 + \xi^4 \pm a^2 \xi^2}{\sqrt{\xi^4 + \xi^2 (\pm a^2 - b^2)} \mp a^2 b^2} \right)}_{I} d\xi$$

$$I = 2 \int_{\xi_0}^{\xi} \frac{\xi^4 + \frac{1}{2}(\pm a^2 - b^2) + \frac{1}{2}\xi^2(\pm a^2 - b^2) \mp a^2 b^2 - \frac{1}{2}\xi^2(\pm a^2 - b^2) \pm a^2 b^2}{\sqrt{\xi^4 + \xi^2(\pm a^2 - b^2) \mp a^2 b^2}} d\xi$$

$$\int_{\xi_0}^{\xi} \sqrt{(\xi^2 \pm a^2)(\xi^2 - b^2)} d\xi = \left[ \xi \sqrt{(\xi^2 \pm a^2)(\xi^2 - b^2)} \right]_{\xi_0}^{\xi} - 2 \int_{\xi_0}^{\xi} \sqrt{(\xi^2 \pm a^2)(\xi^2 - b^2)} d\xi - 2 \int_{\xi_0}^{\xi} \frac{-\frac{1}{2}\xi^2(\pm a^2 - b^2) \pm a^2 b^2}{\sqrt{(\xi^2 \pm a^2)(\xi^2 - b^2)}} d\xi$$

$$\int_{\xi_0}^{\xi} \sqrt{(\xi^2 \pm a^2)(\xi^2 - b^2)} d\xi = \frac{1}{3} \left[ \xi \sqrt{(\xi^2 \pm a^2)(\xi^2 - b^2)} \right]_{\xi_0}^{\xi} + \frac{1}{3} b a^2 - b^2 \int_{\xi_0}^{\xi} \frac{\xi^2}{\sqrt{(\xi^2 \pm a^2)(\xi^2 - b^2)}} d\xi + \mp \frac{2}{3} a^2 b^2 \int_{\xi_0}^{\xi} \frac{d\xi}{\sqrt{(\xi^2 \pm a^2)(\xi^2 - b^2)}}$$

Řešení integrálů vzato z-Dwight: Tables of integrals str. 156-781.06  
 781.03  
 157-781.16  
 781.13

$$\int_{\xi_0}^{\xi} \frac{d\xi}{\sqrt{(\xi^2 + a^2)(\xi^2 - b^2)}} = \frac{1}{\sqrt{a^2 + b^2}} [F(q, k) - F(q_0, k)]$$

$$q = \arccos \frac{b}{\xi} \quad ; \quad q_0 = \arccos \cos \frac{b}{\xi_0} \quad ; \quad k = \frac{a}{\sqrt{a^2 + b^2}}$$

$$\int_{\xi_0}^{\xi} \frac{d\xi}{\sqrt{(\xi^2 - a^2)(\xi^2 - b^2)}} = \frac{1}{b} \left\{ [F\left(\frac{\xi}{b}, k\right) - F(0, k)] - [F\left(\frac{\xi_0}{b}, k\right) - F(0, k)] \right\}$$

$$\varphi = \arcsin \frac{b}{\xi} \quad ; \quad k = \frac{a}{b} \quad ; \quad \varphi_0 = \arcsin \frac{b}{\xi_0}$$

$$\int_{\xi_0}^{\xi} \frac{d\xi}{\sqrt{(\xi^2 - a^2)(\xi^2 - b^2)}} = \frac{1}{b} [F(\varphi_0, k) - F(\varphi, k)]$$

$$\begin{aligned} \int_{\xi_0}^{\xi} \frac{\xi^2}{\sqrt{(\xi^2 + a^2)(\xi^2 - b^2)}} d\xi &= \left[ \frac{\sqrt{\xi^2 + a^2}}{\xi} \sqrt{\xi^2 - b^2} \right]_{\xi_0}^{\xi} + \\ &+ \frac{b^2}{\sqrt{a^2 + b^2}} [F(\varphi, k) - F(\varphi_0, k)] - \sqrt{a^2 + b^2} [E(\varphi, k) - E(\varphi_0, k)] \end{aligned}$$

$$\varphi = \arccos \frac{b}{\xi} \quad ; \quad k = \frac{a}{\sqrt{a^2 + b^2}} \quad ; \quad \varphi_0 = \arccos \frac{b}{\xi_0}$$

$$\begin{aligned} \int_{\xi_0}^{\xi} \frac{\xi^2}{\sqrt{(\xi^2 - a^2)(\xi^2 - b^2)}} d\xi &= \left[ \frac{\sqrt{\xi^2 - a^2} \sqrt{\xi^2 - b^2}}{\xi} \right]_{\xi_0}^{\xi} + b \{ [F\left(\frac{\xi}{b}, k\right) - F(0, k)] - \\ &- [E\left(\frac{\xi}{b}, k\right) + E(0, k)] - [F\left(\frac{\xi_0}{b}, k\right) - F(0, k)] - [E\left(\frac{\xi_0}{b}, k\right) + E(0, k)] \} \} \end{aligned}$$

$$\varphi = \arcsin \frac{b}{\xi} \quad ; \quad k = \frac{a}{b} \quad ; \quad \varphi_0 = \arcsin \frac{b}{\xi_0}$$

$$\int_{\xi_0}^{\xi} \frac{\xi^2}{\sqrt{(\xi^2 - a^2)(\xi^2 - b^2)}} d\xi = \left[ \frac{\sqrt{\xi^2 - a^2} \sqrt{\xi^2 - b^2}}{\xi^2} \right]_{\xi_0}^{\xi} +$$

$$+ b [F(\varphi_0, k) - F(\varphi, k) + E(\varphi, k) - E(\varphi_0, k)]$$

$$F(\varphi, k) = \int_0^{\varphi} \frac{dy}{\sqrt{1 - k^2 \sin^2 y}} \quad k^2 < 1 \quad \text{El. integrál prvního druhu}$$

$$E(\varphi, k) = \int_0^{\varphi} \sqrt{1 - k^2 \sin^2 y} \quad dy \quad \text{El. integral druhého druhu}$$

Řešení prvého případu:

$$\begin{aligned}
 K(\gamma - \gamma_0) &= \int_{\xi_0}^{\xi} \sqrt{(\xi^2 + a^2)(\xi^2 - b^2)} d\xi = \\
 &= \frac{1}{3} \left[ \xi \sqrt{(\xi^2 + a^2)(\xi^2 - b^2)} - \xi_0 \sqrt{(\xi_0^2 + a^2)(\xi_0^2 - b^2)} \right] + \\
 &\quad + \frac{1}{3} (a^2 - b^2) \left\{ \frac{\sqrt{\xi^2 + a^2} \sqrt{\xi^2 - b^2}}{\xi} - \frac{\sqrt{\xi_0^2 + a^2} \sqrt{\xi_0^2 - b^2}}{\xi_0} \right\} + \\
 &\quad + \frac{b^2}{\sqrt{a^2 + b^2}} \left[ F(\varphi, k) - F(\varphi_0, k) \right] - \sqrt{a^2 + b^2} \left[ E(\varphi, k) - E(\varphi_0, k) \right]^2 - \\
 &\quad - \frac{2}{3} a^2 b^2 \frac{1}{\sqrt{a^2 + b^2}} \left[ F(\varphi, k) - E(\varphi_0, k) \right]
 \end{aligned}$$

$$k = \frac{a}{\sqrt{a^2 + b^2}} \quad ; \quad \varphi = \arccos \frac{b}{f} \quad ; \quad \varphi_0 = \arccos \frac{b}{f_0}$$

$$\begin{aligned}
 K(\gamma - \gamma_0) &= \frac{1}{3} \sqrt{(\xi^2 + a^2)(\xi^2 - b^2)} \left[ \xi + \frac{a^2 - b^2}{\xi} \right] - \\
 &\quad - \frac{1}{3} \sqrt{(\xi_0^2 + a^2)(\xi_0^2 - b^2)} \left[ \xi_0 + \frac{a^2 - b^2}{\xi_0} \right] + \\
 &\quad + [F(\varphi, k) - F(\varphi_0, k)] \left\{ \frac{b^2(a^2 - b^2)}{3\sqrt{a^2 + b^2}} - \frac{2a^2b^2}{3\sqrt{a^2 + b^2}} \right\} - \\
 &\quad - [E(\varphi, k) - E(\varphi_0, k)] \frac{1}{3} (a^2 - b^2) \sqrt{a^2 + b^2}
 \end{aligned}$$

$$\eta - \eta_0 = \frac{1}{3K} \left\{ \left( \xi + \frac{a^2 - b^2}{\xi} \right) \sqrt{(\xi^2 + a^2)(\xi^2 - b^2)} - \left( \xi_0 + \frac{a^2 - b^2}{\xi_0} \right) \sqrt{(\xi_0^2 + a^2)(\xi_0^2 - b^2)} - \right.$$

$$- b^2 \sqrt{a^2 + b^2} [F(\eta, \epsilon) - F(\eta_0, \epsilon)] -$$

$$\left. - (a^2 - b^2) \sqrt{a^2 + b^2} [E(\eta, \epsilon) - E(\eta_0, \epsilon)] \right\}$$

Toto jest řešení prvého případu.

$$k = \frac{a}{\sqrt{a^2 + b^2}} \text{ i } \eta = \arccos \frac{b}{\xi} \text{ i } \xi_0 = \arccos \frac{b}{\xi_0}$$

Řešení druhého případu:

$$K(\eta - \eta_0) = \int_{\xi_0}^{\xi} \sqrt{(\xi^2 - a^2)(\xi^2 - b^2)} d\xi =$$

$$\frac{1}{3} \left[ \xi \sqrt{(\xi^2 - a^2)(\xi^2 - b^2)} - \xi_0 \sqrt{(\xi_0^2 - a^2)(\xi_0^2 - b^2)} \right] -$$

$$- \frac{1}{3} (a^2 + b^2) \left\{ \frac{\sqrt{\xi^2 - a^2} \sqrt{\xi^2 - b^2}}{\xi} - \frac{\sqrt{\xi_0^2 - a^2} \sqrt{\xi_0^2 - b^2}}{\xi_0} + \right.$$

$$+ b [F(\eta, \epsilon) - F(\eta_0, \epsilon) + E(\eta, \epsilon) - E(\eta_0, \epsilon)] \Big\} +$$

$$+ \frac{2}{3} a^2 b^2 \frac{1}{b} [F(\eta_0, \epsilon) - F(\eta, \epsilon)]$$

$$k = \frac{a}{b} \text{ i } \eta = \arcsin \frac{b}{\xi} \text{ i } \eta_0 = \arcsin \frac{b}{\xi_0}$$

$$K(\eta - \eta_0) = \frac{1}{3} \sqrt{(\xi^2 - a^2)(\xi^2 - b^2)} \left( \xi - \frac{a^2 + b^2}{\xi} \right) - \frac{1}{3} \sqrt{(\xi_0^2 - a^2)(\xi_0^2 - b^2)} \cdot$$

$$\cdot \left[ \xi_0 - \frac{a^2 + b^2}{\xi_0} \right] + [F(\eta, \epsilon) - F(\eta_0, \epsilon)] \left\{ \frac{2}{3} b (a^2 + b^2) - \frac{2}{3} a b^2 \right\} -$$

$$- [E(\eta, \epsilon) - E(\eta_0, \epsilon)] \frac{2}{3} b (a^2 + b^2)$$

$$\begin{aligned} \gamma - \gamma_0 = \frac{1}{3K} \left\{ \left( \left( \gamma - \frac{\tilde{a}^2 + b^2}{\xi} \right) \sqrt{(\xi^2 - a^2)(\xi^2 - b^2)} - \left| \gamma_0 - \frac{\tilde{a}^2 + b^2}{\xi_0} \right| \sqrt{\xi_0^2 - a^2} \right) (\xi_0^2 - b^2) + \right. \right. \\ \left. \left. + b(b^2 - a^2) [F(\gamma, k) - F(\gamma_0, k)] - b(\tilde{a}^2 + b^2) [E(\gamma, k) - E(\gamma_0, k)] \right\} \right\} \end{aligned}$$

Toto jest řešení druhého případu.

$$k = \frac{a}{b} \quad ; \quad \varphi = \arcsin \frac{b}{\xi} \quad ; \quad \varphi_0 = \arcsin \frac{b}{\xi_0}$$

Dále počítáme rovnice drážky v původních proměnných:

$$\begin{aligned} v &; \mu = \frac{v - v_0}{2} & x &; \mu = v + 2x \\ \xi &= x + v + \mu \\ a^2 &= \mu^2 - K \end{aligned}$$

$$K = \frac{m v}{\sqrt{1 + \gamma_0'^2}} = \frac{v(v + 2\mu)}{\sqrt{1 + \gamma_0'^2}} = \frac{(v + 2\mu)v}{s_0'}$$

$$\begin{aligned} s &= \int \sqrt{1 + \gamma'^2} dx \\ s' &= \frac{ds}{dx} = \sqrt{1 + \gamma'^2} \end{aligned}$$

$$\begin{aligned} s_0' &= \sqrt{1 + \gamma_0'^2} \\ a_1^2 &= K - \mu^2 \quad a^2 = (K - \mu^2) \\ b^2 &= K + \mu^2 \end{aligned}$$

Toto řešení závisí na velikosti parametru  $\mu$ , proto určíme oblasti v nichž jednotlivá řešení platí.  
Platnost řešení 1.

$$K - \mu^2 > 0 \Rightarrow \frac{v(v + 2\mu)}{\sqrt{1 + \gamma_0'^2}} - \mu^2 > 0$$

$$v^2 - 2\mu \frac{v}{s_0'} - \frac{v^2}{s_0'} < 0$$

$$\mu_{1,2} = \frac{v}{s_0'} \pm \sqrt{\frac{v^2}{s_0'^2} + \frac{v^2}{s_0'}} = \frac{v}{s_0'} \left[ 1 \pm \sqrt{1 + s_0'} \right]$$

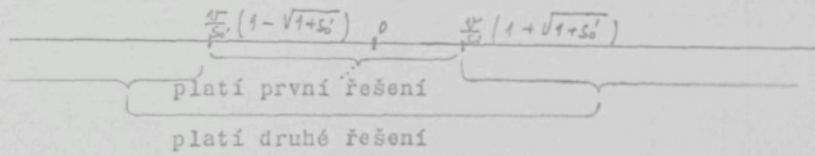
$$\left[ \mu - \frac{v}{s_0'} (1 + \sqrt{1+s_0'}) \right] \left[ \mu - \frac{v}{s_0'} (1 - \sqrt{1+s_0'}) \right] < 0$$

$$\mu - \frac{v}{s_0'} (1 - \sqrt{1+s_0'}) > 0, \quad \mu - \frac{v}{s_0'} (1 + \sqrt{1+s_0'}) < 0$$

$$\underline{\frac{v}{s_0'} (1 - \sqrt{1+s_0'}) < \mu < \frac{v}{s_0'} (1 + \sqrt{1+s_0'})}$$

Platnost řešení 2.

$$K - p^v = 0, \quad p < \frac{v}{s_0'} (1 - \sqrt{1+s_0'}); \quad p > \frac{v}{s_0'} (1 + \sqrt{1+s_0'})$$



Zavedeme původní proměnné v prvním řešení:

$$\tilde{t} - \tilde{t}_0 = \frac{1}{3K} \left\{ \frac{[(x+p) + \tilde{t}^v - 2p^v]}{x+v+p} \cdot \sqrt{[(x+v+p)^2 + K - p^v][(x+v+p)^2 - K - p^v]} - \right.$$

$$- \frac{(v+p)^v - 2p^v}{v+p} \sqrt{[(v+p)^v + K - p^v][(v+p)^v - K - p^v]} -$$

$$- (K + p^v) \sqrt{2K} [F(\varphi, k) - F(\varphi_0, k)] -$$

$$- (-2p^v) \sqrt{2K} [E(\varphi, k) - E(\varphi_0, k)]$$

$$k = \frac{\sqrt{k-p^v}}{\sqrt{2K}} \quad \varphi = \arccos \frac{\sqrt{k+p^v}}{x+v+p} \quad K = \frac{v(v+2p^v)}{s_0'}$$

$$(x+v)^2 + 2p(x+v) + p^v \pm K - p^v = x^2 + 2vx + v^2 + 2pv + 2p^v \pm \frac{v^2 + 2pv}{s_0'} = \\ = x(x+2v+2p) + \left(1 \pm \frac{1}{s_0'}\right)(v^2 + 2pv)$$

$$\begin{aligned}
 \gamma_1 - \gamma_{10} = & \frac{s_0'}{3v(v+2p)} \left\{ \frac{(x+v)^2 + 2p(x+v) + p^2}{x+v+p} \cdot \sqrt{[x(x+2v+2p) + (1-\frac{1}{s_0'})v(v+2p)]} \right. \\
 & \cdot \left. \sqrt{[x(x+2v+2p) + (1-\frac{1}{s_0'})v(v+2p)]} - \right. \\
 & - \frac{v^2 + 2pv - p^2}{v+p} v(v+2p) \sqrt{1 - \frac{1}{s_0'^2}} - \\
 & - \left[ \frac{v(v+2p)}{s_0'} + p^2 \right] \sqrt{2 \frac{v(v+2p)}{s_0'}} [F(\varphi_1, k) - F(\varphi_{10}, k)] + \\
 & \left. + 2p^2 \sqrt{2 \frac{(v+2p) \cdot v}{s_0'}} [E(\varphi_1, k) - E(\varphi_{10}, k)] \right\}
 \end{aligned}$$

$$k = \sqrt{\frac{v(v+2p) - p^2 s_0'}{2v(v+2p)}} \quad \varphi = \arccos \frac{\sqrt{v(v+2p) + p^2 s_0'}}{(x+v+p) \sqrt{s_0'}}$$

$$s_0' = \sqrt{1 + \left( \frac{dy}{dx} \right)_p^2}$$

což je výsledný vztah pro první řešení.

Speciel. případ mezikruhového meridianu (první řešení):

$$\phi \equiv \theta$$

$$\begin{aligned}
 \alpha_1^{\varphi_1} - \alpha_{10}^{\varphi_0} = & \frac{s_0'}{3v^2} \left\{ (x+v) \left[ x(x+2v) + v^2 \left( 1 + \frac{1}{s_0'} \right) \right] \left[ x(x+v \cdot 2) + v^2 \left( 1 - \frac{1}{s_0'} \right) \right] - \right. \\
 & \left. - v^2 \sqrt{1 - \frac{1}{s_0'^2}} - \frac{v^3}{s_0'} \sqrt{\frac{2}{s_0'}} [F(\varphi_1, \alpha_1 k) - F(\varphi_{10}, \alpha_{10} k)] \right\}
 \end{aligned}$$

$$\alpha_1 k = \frac{\sqrt{2}}{2}, \quad \alpha_1 \phi = \arccos \cos \frac{v}{(x+v) \sqrt{s_0'}}$$

(Výsledný vztah pro drážku mezikruhového meridianu)

Zavedeme původní proměnné pro druhé řešení:

$$\begin{aligned} \varphi - \varphi_0 &= \frac{1}{3K} \left\{ \frac{(x+v) + p)^2 - 2p^2}{x+v+p} \sqrt{[(x+v+p)^2 - p^2 + K][(x+v+p)^2 - K - p^2]} - \right. \\ &- \frac{(v+p)^2 - 2p^2}{v+p} \sqrt{[(v+p)^2 - p^2 + K][(v+p)^2 - K - p^2]} + \\ &+ \sqrt{K+p^2} \cdot 2K [F(\varphi, k) - F(\varphi_0, k)] - \\ &\left. - \sqrt{K+p^2} \cdot 2p^2 [E(\varphi, k) - E(\varphi_0, k)] \right\} \end{aligned}$$

$$K = \frac{\sqrt{p^2 - K}}{\sqrt{K+p^2}} ; \quad \varphi = \arcsin \frac{\sqrt{K+p^2}}{x+v+p} ; \quad K = \frac{v(v+2p)}{s_0}$$

$$\begin{aligned} \varphi - \varphi_0 &= \frac{s_0'}{3v(v+2p)} \left\{ \frac{(x+v)^2 + 2p(x+v) - p^2}{x+v+p} \sqrt{[(x+2v+2p) + v(v+2p)(1 - \frac{1}{s_0'})] - } \right. \\ &\left. \cdot [x(x+2v+2p) + v(v+2p)(1 - \frac{1}{s_0'})] - \right. \\ &- \frac{v^2 + 2pv - p^2}{v+p} v(v+2p) \sqrt{1 - \frac{1}{s_0'^2}} + \\ &+ 2 \frac{v(v+2p)}{s_0'} \sqrt{\frac{v(v+2p) + p^2 s_0'}{s_0'}} [F(\varphi, k) - F(\varphi_0, k)] - \\ &\left. - 2p^2 \sqrt{\frac{v(v+2p) + p^2 s_0'}{s_0'}} [E(\varphi, k) - E(\varphi_0, k)] \right\} \end{aligned}$$

$$2k = \int \frac{p^2 s_0' - v(v+2p)}{p^2 s_0' + v(v+2p)} \quad z\varphi = \arcsin \frac{\sqrt{v(v+2p) + p^2 s_0'}}{(x+v+p) \sqrt{s_0'}}$$

což je výsledný vztah s původními proměnnými v druhém řešení.

Speciel. případ obdélníkového meridianu (druhé řešení):

$\nu \rightarrow \infty$  (lze řešit limitním přechodem předchozího vztahu nebo lépe přímým výpočtem)

Viz úvaha str. 128

$$\nu + x = K \sqrt{1 + \left(\frac{dy}{dx}\right)^2} ; \quad \nu = K s_0' ; \quad K = \frac{\omega}{s_0'}$$

$$\gamma - \gamma_0 = \int_0^x \sqrt{\frac{(v+x)\nu}{K^2} - 1} dx ; \quad \xi = x + v ; \quad d\xi = dx$$

$$\gamma - \gamma_0 = \frac{1}{K} \int_0^\xi \sqrt{\xi^2 - K^2} d\xi \quad \xi > K > 0$$

Dvight: Tables of integrals str. 58; 290.01

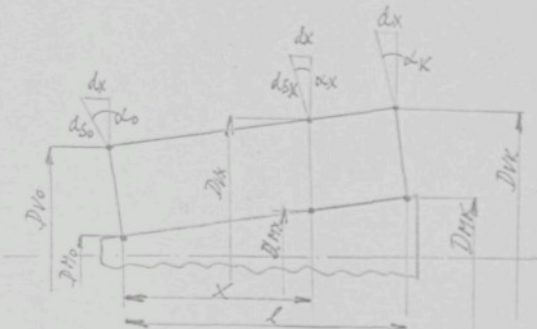
$$\gamma - \gamma_0 = \frac{1}{2K} \left\{ \xi \sqrt{\xi^2 - K^2} - \xi_0 \sqrt{\xi_0^2 - K^2} - K^2 \operatorname{fg} \left| \frac{\xi + \sqrt{\xi^2 - K^2}}{\xi_0 + \sqrt{\xi_0^2 - K^2}} \right| \right\}$$

$$\begin{aligned} \gamma - \gamma_0 = & \frac{s_0'}{2\nu} \left\{ (x+v) \sqrt{(x+v)^2 - \frac{\nu^2}{s_0'^2}} - v \sqrt{v^2 - \frac{\nu^2}{s_0'^2}} - \right. \\ & \left. - \frac{\nu}{s_0'^2} \operatorname{fg} \frac{x+v + \sqrt{(x+v)^2 - \frac{\nu^2}{s_0'^2}}}{v + \sqrt{v^2 - \frac{\nu^2}{s_0'^2}}} \right\} \end{aligned}$$

$$\begin{aligned} \gamma - \gamma_0 = & \frac{\nu s_0'}{2} \left\{ \left( \frac{x}{\nu} + 1 \right) \sqrt{\left( \frac{x}{\nu} + 1 \right)^2 - \frac{1}{s_0'^2}} - \sqrt{1 - \frac{1}{s_0'^2}} - \right. \\ & \left. - \frac{1}{s_0'^2} \operatorname{fg} \frac{\frac{x}{\nu} + 1 + \sqrt{\left( \frac{x}{\nu} + 1 \right)^2 - \frac{1}{s_0'^2}}}{1 + \sqrt{1 - \frac{1}{s_0'^2}}} \right\} \end{aligned}$$

Výsledný vztah pro drážku obdélníkového meridianu.

5a) Z jednodušené řešení tvaru drážky rozvaděče:



N = počet dvojzdvihů na celé křížové cívce

B = průřez příze vč. vzduchových mezer

$$\beta = \frac{T/(R_{vx}^2 - R_{mx}^2)dx}{d_{sx} \cdot N}$$

$d_{sx}$  = délka příze v proužku  $d_x$  v libovolném bodě x

$d_{sk}$  = délka příze v proužku  $d_x$  v bodě x = 1

R = poloměr křížové cívky (místa označená indexem o,x,k)

$$d_{sx} \cdot N \cdot B = \pi (R_{vx}^2 - R_{mx}^2) d_x$$

$$d_{sk} \cdot N \cdot B = \pi (R_{vk}^2 - R_{mk}^2) d_x$$

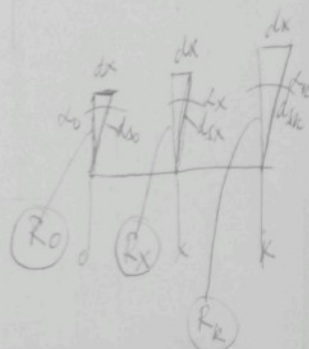
$$\mu \cdot \beta = \frac{\pi (R_{vk}^2 - R_{mk}^2) dx}{d_{sk}}$$

Po dosazení a úpravách dostaneme:

$$\frac{d_{sx}}{d_{sk}} = \frac{R_{vx}^2 - R_{mx}^2}{R_{vk}^2 - R_{mk}^2}$$

$$d_{so} = \frac{dx}{\sin \alpha_o} ; \quad d_{sx} = \frac{dx}{\sin \alpha_x} ; \quad d_{sk} = \frac{dx}{\sin \alpha_k}$$

$$R_s \gamma_{so} = R_x \gamma_{sx} = R_k \gamma_{sk}$$



$$r_x \lg \alpha_x = r_k \lg \alpha_k \quad \lg \alpha_x = \frac{r_k \lg \alpha_k}{r_x}$$

$$r_x = r_0 + kx \quad k = \frac{r_k - r_0}{\lambda}$$

$$\frac{dy}{dx} = \text{colg } \alpha_x = \frac{r_0 + kx}{r_k \cdot \lg \alpha_k}$$

$$\boxed{\gamma - \gamma_0 = \frac{r_0 x + \frac{1}{2} k x^2}{r_k \cdot \lg \alpha_k}}$$

$$\gamma - \gamma_0 = \frac{1}{r_k \lg \alpha_k} [r_0 x + \frac{1}{2} k x^2]$$

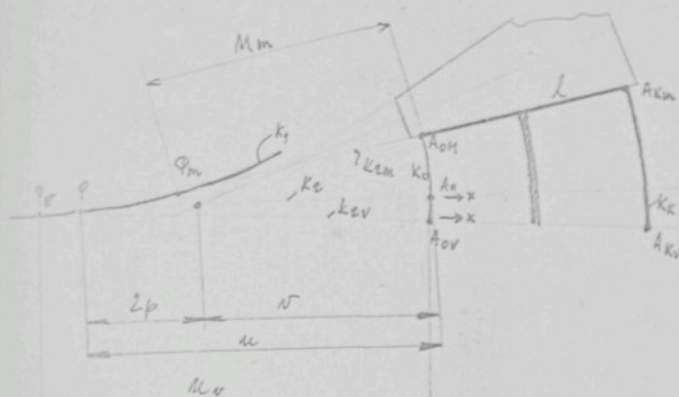
$$\gamma_k - \gamma_0 = \frac{1}{r_k \lg \alpha_k} [r_0 l + \frac{1}{2} k l^2]$$

$$\gamma - \gamma_0 = (\gamma_k - \gamma_0) \frac{x (r_0 + \frac{k}{2} x)}{l (r_0 + \frac{k}{2} l)}$$

$$\gamma - \gamma_0 = (\gamma_k - \gamma_0) \frac{x}{l} \frac{r_0 + \frac{r_k - r_0}{2} \frac{x}{l}}{r_0 + \frac{r_k - r_0}{2}}$$

$$\gamma - \gamma_0 = (\gamma_k - \gamma_0) \frac{2}{r_k + r_0} \cdot \frac{x}{l} \left[ r_0 + \frac{r_k - r_0}{2} \frac{x}{l} \right]$$

#### 6. Stanovení středních poměrů pro výpočet drážky rozvaděče



Jelikož se v průběhu navíjení mění geometrické veličiny  $p$ ,  $v$ , na nichž závisí tvar drážky rozvaděče, je třeba k výpočtu drážky určit jejich střední hodnotu. Průběh  $p$ , v pří navíjení závisí na tvaru polodie  $k_1$ . Tedy na konstrukci mechanismu držáku cívky. Předpokládajme, že byl již zkonstruován držák cívky, na základě volby tvaru meridiánu návinu a tím je dána křivka  $k_1$ . Při navíjení se pól přemisťuje v mezích obleuku  $\bar{P}_m \bar{P}_r$ . Pokud přikládáme stejnou váhu době dodržení vhodných poměrů  $v$ , průběhu navíjení celé cívky, je přirozené užít střední hodnotu.

Ve smyslu věty o střední hodnotě integrálního počtu vychází:

### T - doba navíjení cívky

Podobně lze stanovit střední hodnotu vzhledem k navíjenému objemu.

$$\int_{k_1}^{k_2} u \, dV = \bar{u} \cdot V$$

$V$  ... objem celého návinu

$dV$  ... objem element. návinu

Výpočty těchto integrálů by byly značně obtížné vzhledem k obecnosti  $k_1$  a zřejmě by bylo třeba užít numerických metod. Nedopustíme se podstatně nepřesnosti, užijeme-li jako parametru délky oblouku křivky  $k_1$ : element oblouku  $k_1$  jest du protože křivky k jsou jejimi evolventami.

$$\int_{k_1}^{k_2} u \, du = \bar{u} (u_v - u_m)$$

$$\frac{u_v^2 - u_m^2}{2} = \bar{u} (u_v - u_m)$$

$$\bar{u} = \frac{u_v - u_m}{2}$$

Odpovídající pól  $\bar{P}$  tedy půlí oblouk  $P_m P_v$ ; tím je dána přímka  $k_2$  a její průsečíky s osou rotace cívky, resp. křivkou  $k_0$  určují míry p a y pro výpočet drážky.

V případech, kdy p nabývá značných či dokonce nekonečných hodnot (obdélníkový meridiál) lze postupovat takto: určíme charakteristický poloměr  $\bar{r}$  z podmínky, že celý průřez návinu soustředěný na tomto poloměru má vytvořit celkový objem návinu.

$$2 \pi \bar{r} F_v = V_v$$

$F_v$  ... plocha průřezu návinu.

Podle druhé Poppovy věty však je

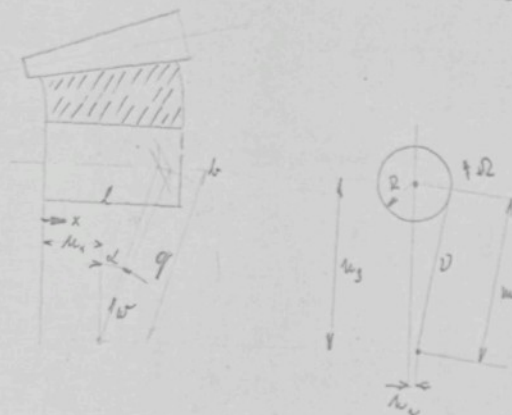
$$V_v = 2 \pi r_s F_v$$

kde  $r_s$  je poloměr střediska (těžiště)  $F_v$ .

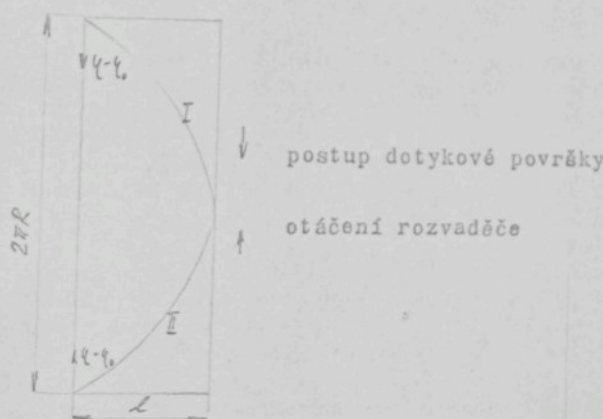
$$\Rightarrow \bar{r} = r_s$$

Střediskem průřezu bude tedy procházet charakteristická normála  $k_2^*$  a jejími průsečíky s  $k_o$ , osou rotace cívky a bodem  $\tilde{P}$  (střed křivosti  $k_o$ ,  $k_k$  v bodech  $A_o^*$  resp.  $A_k^*$ ) jsou určeny míry  $\rho$ ,  $\psi$  pro výpočet drážky.

7. Návrh drážky rozvaděče s ohledem na průchod příze brzdou



Rozvinutý plášt' rozvaděče



Pro výpočet rychlosti průchodu příze brzdou předpokládáme, že

1. příze vstupuje do drážky vždy na dotykové přímce b tečné roviny  $\mathcal{D}$  válcové proložené brzdou,
2. možnost zanedbání relativní rychlost  $v_r$  příze vzhledem k rozvaděči ve srovnání s ostatními rychlostmi

$\tilde{w}$  = rychlosť prúchodu priezne brzdou

$$w dt = \sqrt{(R\Omega dt)^2 + (dx)^2} \quad + \sqrt{m^2 + (x + dx - u_1)^2} - \sqrt{m^2 + (x - u_1)^2}$$

$$R\Omega dt = \pm dy$$

pro časť I  
pro časť II

$$w dt = \sqrt{(R\Omega dt)^2 + (dx)^2} + \frac{x - u_1}{\sqrt{m^2 + (x - u_1)^2}} dx$$

$$w dt = R\Omega dt \left[ \sqrt{1 + \left( \pm \frac{dx}{dy} \right)^2} \pm \frac{dx}{dy} \frac{x - u_1}{\sqrt{m^2 + (x - u_1)^2}} \right]$$

$$w = R\Omega \left[ \sqrt{1 + \frac{1}{y'^2}} \pm \frac{x - u_1}{y' \sqrt{m^2 + (x - u_1)^2}} \right]$$

Pro  $x = 0$ , resp.  $x = l$  se tedy mění rychlosť skokem:

$$\Delta w_s = w_I - w_0 = R\Omega \left[ \sqrt{1 + \frac{1}{I'^{1/2}}} - \sqrt{1 + \frac{1}{I^{1/2}}} + \right. \\ \left. + \frac{(0 - u_1)}{I'^{1/2} \sqrt{m^2 + u_1^2}} - \frac{(-1)(0 - u_1)}{I^{1/2} \sqrt{m^2 + u_1^2}} \right]$$

$$\Delta w_0 = R\Omega \left[ \sqrt{1 + \frac{1}{I'^{1/2}}} - \sqrt{1 + \frac{1}{I^{1/2}}} - \frac{u_1}{\sqrt{m^2 + u_1^2}} \left( \frac{1}{I'^{1/2}} + \frac{1}{I^{1/2}} \right) \right]$$

$$\Delta w_L = w_K - w_L = R\Omega \left[ \sqrt{1 + \frac{1}{E'^{1/2}}} - \sqrt{1 + \frac{1}{E^{1/2}}} - \right. \\ \left. - \frac{l - u_1}{E'^{1/2} \sqrt{m^2 + (l - u_1)^2}} - \frac{l - u_1}{E^{1/2} \sqrt{m^2 + (l - u_1)^2}} \right]$$

$$\Delta w_E = R\Omega \left[ \sqrt{1 + \frac{1}{E'^{1/2}}} - \sqrt{1 + \frac{1}{E^{1/2}}} - \frac{l - u_1}{\sqrt{m^2 + (l - u_1)^2}} \left( \frac{1}{E'^{1/2}} + \frac{1}{E^{1/2}} \right) \right]$$

Na příkl. za předpokladu symetrické drážky  $\frac{\gamma_1'}{l} = \frac{\gamma_2'}{R}$   
v obou krajích dojde k poklesu rychlosti o:

$$\frac{2 m_s}{\gamma_0' \sqrt{m_r^2 + u_r^2}} \quad \text{resp} \quad \frac{2(l - m_s)}{\gamma_k' \sqrt{m_r^2(l - m_s)^2}}$$

Mezní hodnoty  $\gamma'$  spolu souvisí vztahem:

$$\frac{(u + l)^2(v + b)^2}{u^2 v^2} = \frac{1 + \gamma_k'^2}{1 + \gamma_0'^2}$$

Při návrhu drážky máme zadáno  $n, m, v, l, R$ .

Protože  $\gamma_k' - \gamma_0'$  je při daných  $n, v, l$  funkcií  $\gamma_0'$ , musí  $\gamma_0'$  a  $\gamma_k'$  vyhovovat podmínce:

$$\gamma_k' - \gamma_0' + \gamma_k' - \gamma_0' = 2\pi R$$

V případě, že je celá drážka na jednom obvodu rozvaděče.



Tento vztah spolu s event. další podmínkou pro  $\gamma_0'$  lze řešit d numericky nebo s pomocí grafického znázornění.

Parametry  $m, n_1$  určují polohu brzdy, ať potom spolu s předchozími (v mezi konstrukčních možností) splní na příkl. podmínu:

$$|\Delta w_0| = |\Delta w_k| \quad \text{a tuto je třeba minimalisovat.}$$

Bude zřejmě vhodné numerické řešení, neboť analytické, (pokud by se dalo vůbec provést), by bylo značně obtížné a nepřiměřené k sledovanému problému.

### S) Numerický výpočet drážky rozvaděče

Pro kuželovou cívku  $\alpha = 5^{\circ}57'$ ,  $l = 154$  mm  $\phi$  rozvaděče 160 mm (při rozložení jedné drážky tam a zpět na třech obvodech rozvaděče), tedy  $(\gamma_k - \gamma_o) = \frac{\pi \cdot 160 \cdot 3}{2} = 753,98223$

bylo vypočteno  $r_k = 57,48182$

$$r_o = 41,51818$$

$$v = 400,52267 = \frac{r_o}{\sin 5^{\circ}57'}$$

a dále bylo vypočteno  $\zeta_o' = 3,9819245$

$$\zeta_o' = 4,105572155$$

$$\zeta_o' = \sqrt{1 + \zeta_o'^2}$$

a pro uvedené hodnoty byl vytvořen program k výpočtu funkčních hodnot funkce (viz str. 139):

$$\begin{aligned} \gamma - \gamma_o &= \frac{v \zeta_o'}{2} \left\{ \left( \frac{x}{v} + 1 \right) \sqrt{\left( \frac{x}{v} + 1 \right)^2 - \frac{1}{\zeta_o'^2}} - \sqrt{1 - \frac{1}{\zeta_o'^2}} - \right. \\ &\quad \left. - \frac{1}{\zeta_o'^2} \lg \frac{\frac{x}{v} + 1 + \sqrt{\left( \frac{x}{v} + 1 \right)^2 - \frac{1}{\zeta_o'^2}}}{1 + \sqrt{1 - \frac{1}{\zeta_o'^2}}} \right\} \end{aligned} \quad (\text{numer. r. A})$$

Obdobně byla zpracována i funkce (viz str. 141) pro stejné parametry:

$$\gamma - \gamma_o = (\gamma_k - \gamma_o) \frac{2}{v + r_o} \cdot \frac{x}{l} \left[ r_o + \frac{r_e - r_o}{2} \frac{x}{l} \right] \quad (\text{numer. r. B})$$

Numerické řešení a srovnání výsledků obou funkcí je provedeno na počítacím stroji Olivetti a jsou pro srovnání ne-přesností druhého řešení uvedeny na dalších stranách. Nepřesnosti jednoduchého řešení drážky rozvaděče se pohybují v setinách mm, takže pro praktické použití je toto řešení dostatečně přesné.

(A)

V  
b I  
B ~  
C ~  
/ V  
b I  
B ~  
A 0  
b I  
d X  
B ♫  
A X  
a ♫  
d I  
~  
A ♫  
D I  
d I  
C \*  
E ♫  
b I  
d X  
B ♫  
D \*  
E ♫  
A ♫  
A ♫  
A ♫  
A ♫  
A ♫  
A ♫  
A ♫  
A ♫  
A ♫  
A ♫  
A ♫  
A ♫  
A ♫  
a ♫  
d I  
~  
E ♫  
E ♫  
~  
~  
E ♫  
a ♫  
r 0  
R \*  
R S

(B)

A V  
c 0  
c I  
c I  
E ♫  
b I  
b =  
a ♫  
d ♫  
N ♫  
E X  
b ♫  
E X  
E ♫  
b I  
b \*



12 * 000000000 A0	12 * 000000000 C0
50 * 026182258 A0	50 * 016396681 A0
14 * 000000000 A0	14 * 000000000 C0
58 * 507197127 A0	58 * 496002790 A0
16 * 000000000 A0	16 * 000000000 C0
67 * 029163035 A0	67 * 016621009 A0
18 * 000000000 A0	18 * 000000000 C0
75 * 592080784 A0	75 * 578251337 A0
20 * 000000000 A0	20 * 000000000 C0
84 * 195951576 A0	84 * 180893020 A0
22 * 000000000 A0	22 * 000000000 C0
92 * 840776011 A0	92 * 824545305 A0
24 * 000000000 A0	24 * 000000000 C0
101 * 526555691 A0	101 * 509210453 A0
26 * 000000000 A0	26 * 000000000 C0
110 * 253290818 A0	110 * 234886202 A0
28 * 000000000 A0	28 * 000000000 C0
119 * 020982791 A0	119 * 001574061 A0
30 * 000000000 A0	30 * 000000000 C0
127 * 829632413 A0	127 * 809273276 A0
32 * 000000000 A0	32 * 000000000 C0
136 * 679240084 A0	136 * 657983846 A0
34 * 000000000 A0	34 * 000000000 C0
145 * 569807606 A0	145 * 547706525 A0
36 * 000000000 A0	36 * 000000000 C0
154 * 501334780 A0	154 * 478440560 A0
38 * 000000000 A0	38 * 000000000 C0
163 * 473823207 A0	163 * 450185950 A0
40 * 000000000 A0	40 * 000000000 C0
172 * 487273087 A0	172 * 462943449 A0
42 * 000000000 A0	42 * 000000000 C0
181 * 541685422 A0	181 * 516711550 A0
44 * 000000000 A0	44 * 000000000 C0
190 * 637061012 A0	190 * 611491761 A0









## Závěr :

Z uvezených rozboret ekonomiky automatických soukacích strojů na str. 4 - 44 lze konstatovat, že výhodnost použití automatických křížem soukacích strojů nových typů je z hlediska velikosti potáčů, trhavosti příze, velikosti křížové cívky a nestejnoměrnosti příze na potáči výhodnější než použití strojů starších typů. Z nových typů strojů je potom výhodnější použití strojů s automatizací každé soukací jednotky nebo s automatickou hlavou obsluhující menší počet soukacích jednotek než s automatickou navazovací hlavou obsluhující větší počet soukacích jednotek, hlavně z hlediska teoretických (i praktických) možností dosahování maximálního užitečného výkonu stroje. Výhody strojů s automatizací každé soukací jednotky se projevují více u přízi s větší trhavostí nebo u přízí, kde je technologický zájem na větším stupni čištění.

Dále je možno konstatovat, že problém automatizace soukání křížových cívek z potáčů získaných klasickým způsobem předení je při zhodnocení současného stavu světové techniky výzkumně téměř ukončen i když není dosud ve větším rozsahu odzkoušen a zaveden do praxe.

Další skok v technickém rozvoji výroby staplové příze může nastat, jak jest zřejmé z úvodu, statí II a část. i statí III, patrně jedině agregaci předení a křížového soukání, t.j. výrobou křížové cívky na dopřádacím stroji. Tehoto cíle bylo dosaženo na bezvřetenových dopřádacích strojích, které jsou v současné době zaváděny do textilních provozoven. Není však dosud prokázáno, že by se způsobem bezvřetenového předení mohly vyrábět všechny požadované příze pro textilní průmysl. Důvody, proč nenahradi bezvřetenové předení v plném rozsahu klasické předení, jsou hlavně poněkud jiných fyzikálně mechanických vlastnostech příze vypřádaných tímto



POUŽITÁ LITERATURA:

---

- 1) Textile Industries - April 1968 - "Are we using the wrong knot?"
- 2) Dwight: "Tables of integrals".



